

## Grenå Sejlrende

Geologisk tolkning af havbundens opbygning i Grenå  
Sejlrende på grundlag af seismiske data,  
boringer og laboratorieanalyser

Lærke T. Andersen, Peter Konradi  
og Jørgen O. Leth

## Grenå Sejlrende

Geologisk tolkning af havbundens opbygning i Grenå  
Sejlrende på grundlag af seismiske data,  
boringer og laboratorieanalyser

Lærke T. Andersen, Peter Konradi  
og Jørgen O. Leth



# Indhold

<b>1.</b>	<b>Introduktion og resumé</b>	<b>3</b>
<b>2.</b>	<b>Metoder og udstyr</b>	<b>4</b>
2.1	Dataindsamling .....	4
2.2	Side-scan Sonar.....	4
2.3	Sparker.....	4
2.4	DGPS .....	5
2.5	Navigationsprogrammel.....	6
2.6	Boringer.....	6
<b>3.</b>	<b>Processering og tolkning af data</b>	<b>8</b>
3.1	Data fra side-scan sonaren.....	8
3.1.1	Udarbejdelse af side-scan sonar (SSS) linien.....	8
3.1.2	Tolkning af side-scan sonar linien .....	8
3.2	Seismiske data (sparker data) .....	14
3.2.1	Processering af seismikken.....	14
3.2.2	Tolkning af de seismiske linier.....	14
3.3	Boringsdata .....	16
3.3.1	Beskrivelse af borekernerne .....	16
3.3.2	Sedimentanalyserne .....	16
<b>4.</b>	<b>Referencer</b>	<b>19</b>
<b>5.</b>	<b>Bilagsoversigt</b>	<b>20</b>
5.1	Beskrivelse af borekerner .....	21
5.2	Fotografier af borekerner .....	22
5.3	Bestemmelse af vandindhold.....	23
5.4	Bestemmelse af glødetab .....	24
5.5	Kornstørrelsес analyser .....	25
5.6	Sparker linien .....	26

# **1. Introduktion og resumé**

Baseret på en knap 4 km lang seismisk linie i sejlrenden fra havneindløbet til Grenå havn og ud til godt og vel 15 m vanddybde samt 5 borer til godt 5 m's dybde, er der udført en tolkning af havbundens opbygning. Aflejringerne i borerne stammer dels fra istidens slutning, dels er det overvejende havaflejninger fra postglacial tiden.

På grundlag af 15 prøver af det gennemborede materiale er der udført sedimentanalyser i form af kornstørrelsес bestemmelser, bestemmelse af glødetab og af tørstof.

På basis af en side-scan sonar linie i sejlrenden er der fundet to mulige objekter på havbunden. Endvidere har et område med sandbølger samt et med sten på bunden kunnet udpeges.

Rapporten er omfattet GEUS' generelle kvalitetssikringssystem (Christensen og Stenestad, 1997). Nøjagtigheden af de anvendte data er opgivet i kapitel 2 i forbindelse med beskrivelsen af de enkelte instrumenter.

## **2. Metoder og udstyr**

### **2.1 Dataindsamling**

Dataindsamlingen blev udført i 2 faser, dels sparker undersøgelsen i 2000, dels side-scan sonar undersøgelsen og boringerne i 2002.

Dataindsamlingen forgik i perioden 29/6 – 1/7 2000 med slæbebåden Tina A og den 19/6 2002 med miljøskibet "Gunnar Seidenfaden". Til positionering anvendtes DGPS. Navigationsprogrammet NaviPack blev brugt til fastlæggelse af de seismiske linier og lagring af positionerne.

### **2.2 Side-scan Sonar**

Ved side-scan-undersøgelser fås oplysning om reliefet på havbunden, såsom forekomster af sten og grus, samt strømstrukturer i form af sandribber. Endelig kan side-scan sonaren afsløre forekomster af vrag eller andre objekter på havbunden.

Under side-scan undersøgelsen blev der benyttet en EdgeTech DF-1000 Digital Side-scan Sonar system, 100 kHz og 384 kHz. Data blev opsamlet på Triton Erics Isis dataopsamlingssoftware på en HP Kayak XU med HP SureStore Optical 2600fx Optical Disk Drive. Udprintning af data foregik simultant på en OYO GS-612 printer/plotter med 12" papirbredde. Side-scan sonaren blev trukket ca. 10 m bag skibet i en dybde på ca. 1,25 meter under havoverfladen. Den anvendte side-scan sonar opererer med en horisontal oplosning på omkring 15 cm for  $f=100$  kHz og omkring 3 cm for  $f=384$  kHz afhængig af signal/støj forholdet.

### **2.3 Sparker**

En sparker virker i principippet som et ekkolod, men på grund af en kraftigere lydpuls, kan den give oplysninger om havbundens opbygning ned til omkring 100 meter alt efter typen af sediment der skal gennemtrænges.

Til sparkerundersøgelsen blev en nyudviklet sparker af mærket GeoSpark 200 fra Design Projekts anvendt. Sparkeren er monteret med 200 tips, en HV strømforsyning på 3-4 kVA, 220 V og med et skudinterval på  $\frac{1}{2}$  sekund. Den anvendte streamer var Design Projects 8. element streamer med en kabellængde på 2,8 m. Data blev opsamlet med Delph Erics Seismic dataopsamlingssoftware på en HP Kayak XU med HP SureStore Optical 2600fx Optical Disk Drive. Under sejladsen blev data udprintet på en OYO GS-612 printer/plotter med 12" papirbredde. Sparkeren blev trukket omkring 20 meter efter skibet.

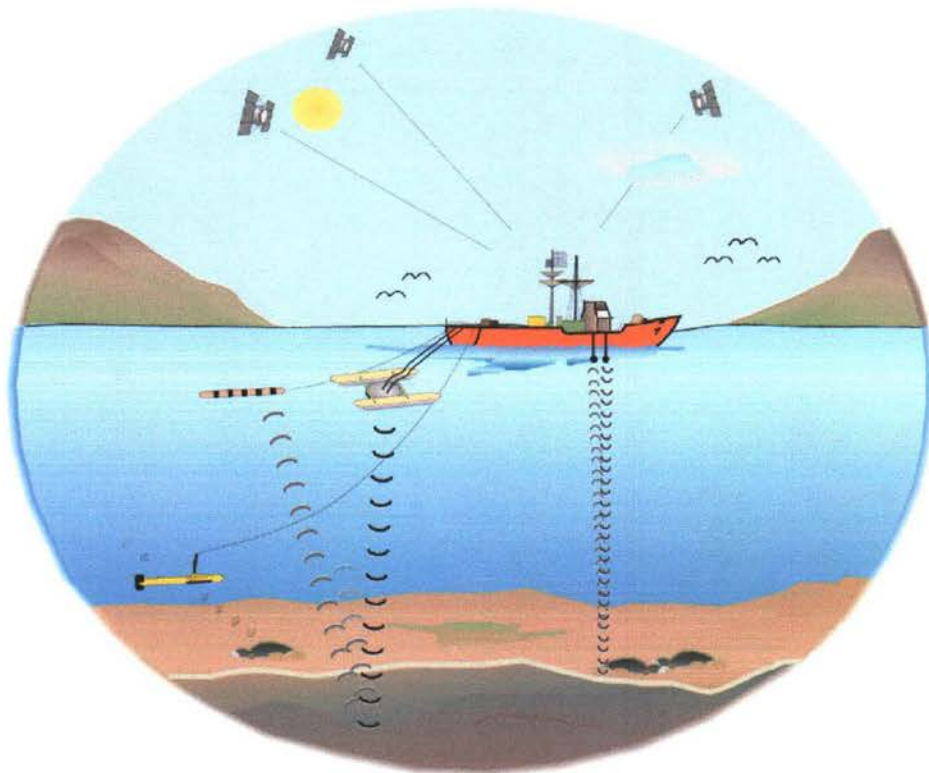
Sparkerens dominerende frekvenspektra ligger mellem 0,8 - 2 kHz. Den optimale seismiske oplosning, der ses i tabel 1, er beregnet ud fra en hastighed på omrent 1500 m/s i de øverste ukonsoliderede sedimenter.

Hastighed i materiale	Horizontal opl. (m)	Vertikal opl. (m)
1500 m/s i ukonsolideret sediment	0,75 - 1,88	0,19 - 0,47

Tabel 1. Optimal horizontal og vertikal oplosning på Sparker-profilerne. Opløsningen må forventes at være ringere på grund af støj.

## 2.4 DGPS

Til navigation blev der anvendt en Sercel NR103 DGPS satellit positionsmodtager. Modtageren arbejder med et netværk af permanente differentielle stationer, som dækker de danske havområder med en nøjagtighed på få meter på positionen.



Figur 1. Skitse til illustration af de anvendte metoder. På skibet ses det højfrekvente ekkolod og side-scan sonaren. Ekkoloddet er brugt til at bestemme vanddybden. Side-scan sonaren giver et billede af havbunden på begge sider af skibet ved at udsende et smalt lydstrålebundt vinkelret på skibets kurs og derefter optage ekkoet, der kastes tilbage fra sten m.v. på havbunden. Efter skibet trækkes sparkeren (seismisk lydkilde) omrent parallelt med dens tilhørende streamer ("mikrofoner" i en slange). Sparker-systemet giver information om lagene under havbunden. Skibets position bestemmes ved satellit navigation.

## 2.5 Navigationsprogrammel

Det anvendte navigationsprogrammel var NAVIPAC survey software på en HP Vectra M med HP QuietJet. Dataopsamling foregik i ED 50, UTM zone 32 og blev lagret i EIVA-format. Side-scan sonar data blev dog optaget i wgs84, UTM zone 32. Der blev taget højde for de enkelte måleinstrumenters placering i forhold til antennen, således at positionen til hvert målepunkt er beregnet og registreret.

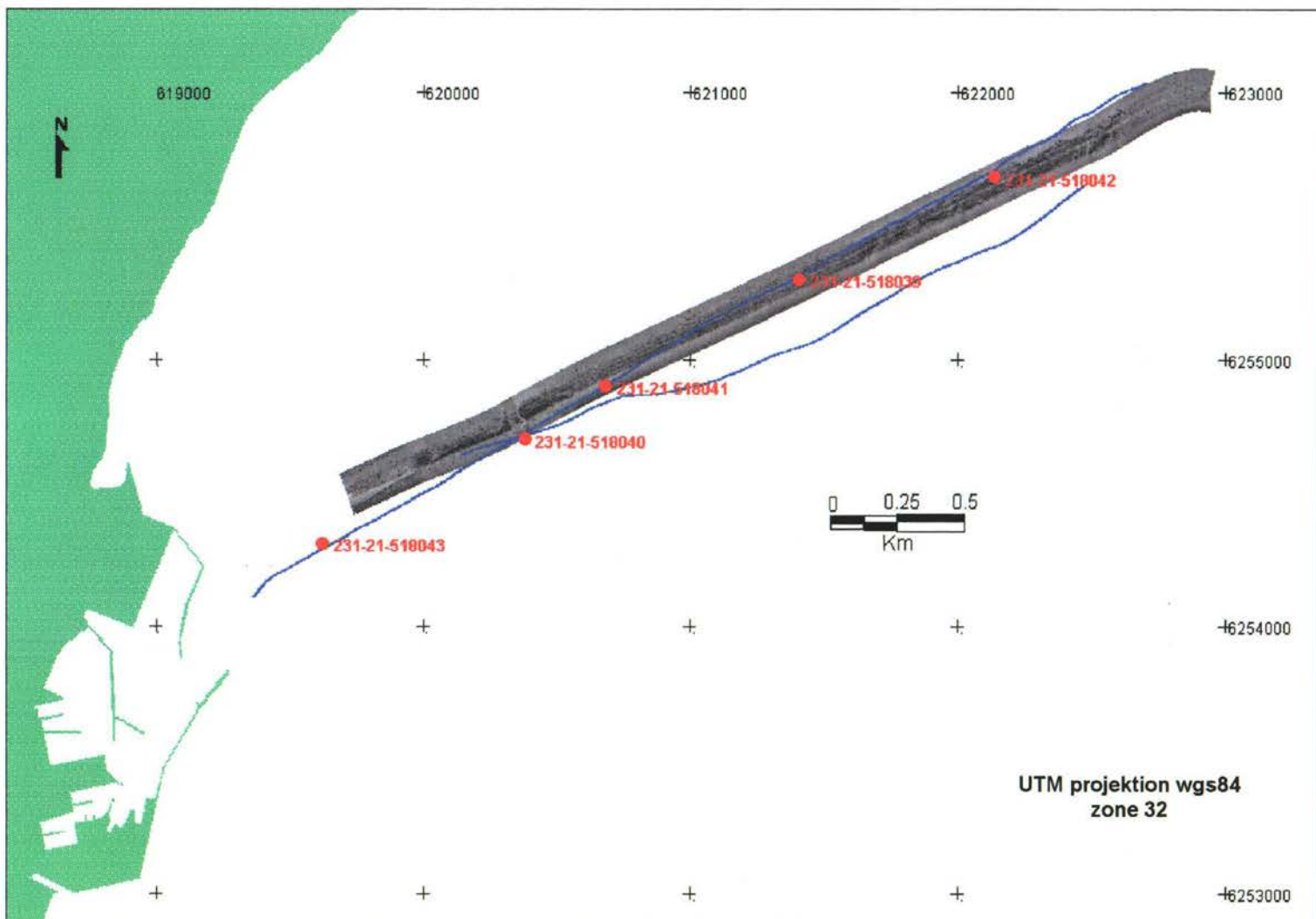
## 2.6 Boringer

Boringerne foregik med GEUS' 6 m boremaskine fra miljøskibet "Gunnar Seidenfaden". Under boringerne var skibet ankret op med 3 ankre, 2 fra forstavnens og 1 fra agterstavnens. Dette var for at kunne placere skibet på den ønskede position samt fastholde skibet under boreprocessen. En kraftig nordgående strøm i sejlrenden resulterede i, at boringerne i værste fald ikke kunne placeres nærmere end få 10 tals af meter fra den position, der var valgt ud fra de seismiske data. Borings positionerne er bestemt med DGPS og korrigert for forskellen mellem antenneposition og det faktiske borested. Boringspositionerne er angivet i UTM zone 32 ED 50 og fremgår af nedenstående tabel 2.

Boring nummer	Øst koordinat	Nord koordinat
231-21-518039	621482	6255517
231-21-518040	620455	6254926
231-21-518041	620759	6255117
231-21-518042	622231	6255902
231-21-518043	619704	6254525

**Tabel 2.** Oversigt over positioner af vibrocoringer (UTM zone 32, ED 50).

Selve borestammen består af et stålør med indre diameter på 104 mm og med en indre foring af et plastrør. I munden sidder en "appelsin"-prøvefanger. På grund af materialets karakter er recovery ofte lidt mindre end fuld borelængde og gerne på godt 5 m. Prøvematerialet optages i plastrøret, der ombord på skibet af transport hensyn skæres op i 1 m lange stykker. Stykkerne bliver entydigt nummererede og forseglede. I boringsproceduren lægges stålørret ned i vandret position for at kunne udtagе foringsrøret. Det kan derfor ikke undgås, at der kan ske en vis forstyrrelse af materialet fra toppen af boringen.



Figur 2. Oversigtskort med data fra sejlrenden ved Grenå Havn. Med blå ses Sparker liniene, med grå ses side-scan sonar linien og boringerne er markeret med rødt.

### **3. Processering og tolkning af data**

Side-scan sonar linien og sparker liniene såvel som placeringen af boringerne er vist på Figur 2.

#### **3.1 Data fra side-scan sonaren**

##### **3.1.1 Udarbejdelse af side-scan sonar (SSS) linien**

SSS-linien er fremstillet ud fra 384 kHz EdgeTech-data. Der er benyttet en range på 80 m/kanal, således at linien dækket et område på havbunden svarrende til 160 m.

Efter-processeringen af SSS-data er foretaget med ISIS-, Delphmap- og MapInfo-software. Opløsningen på SSS-linen er på 0,3 m.

##### **3.1.2 Tolkning af side-scan sonar linien**

SSS-linien blev indsamlet med det formål at kunne kortlægge eventuelle vrag i sejlrenden (Figur 2). Der observeres ingen objekter på linien, der med sikkerhed kan siges at være vrag. Der observeres dog to objekt-lignende refleksioner i den SV-lige ende af profilet.

Objekt 1 er kantet, 10 m langt og 8 m bredt (Figur 3). Objektets position er X: 620.226 Y: 6.254.744 (wgs84,UTM32).

"Objekt" 2 er sandsynligvis ikke et objekt, men snarer en menneskeskabt struktur på havbunden, udtrykt ved 4 parallelle stærkt reflekterende rette linier 40 m langt 10 m bredt (Figur 4).

Position : X: 619.914 Y: 6.254.573 (wgs84,UTM32).

På en stor del af linien kan der observeres sandribber på bunden (Figur 5), som indikerer tilstedeværelsen af en bundstrøm. Det er ikke muligt at fastlægge retningen af bundstrømmen udfra de foreliggende data, idet retningen af sandribberne ændrer sig langs linien.

Længst mod NØ observeres et område med mange store sten i størrelsen op til 3-4 meter (Figur 6).

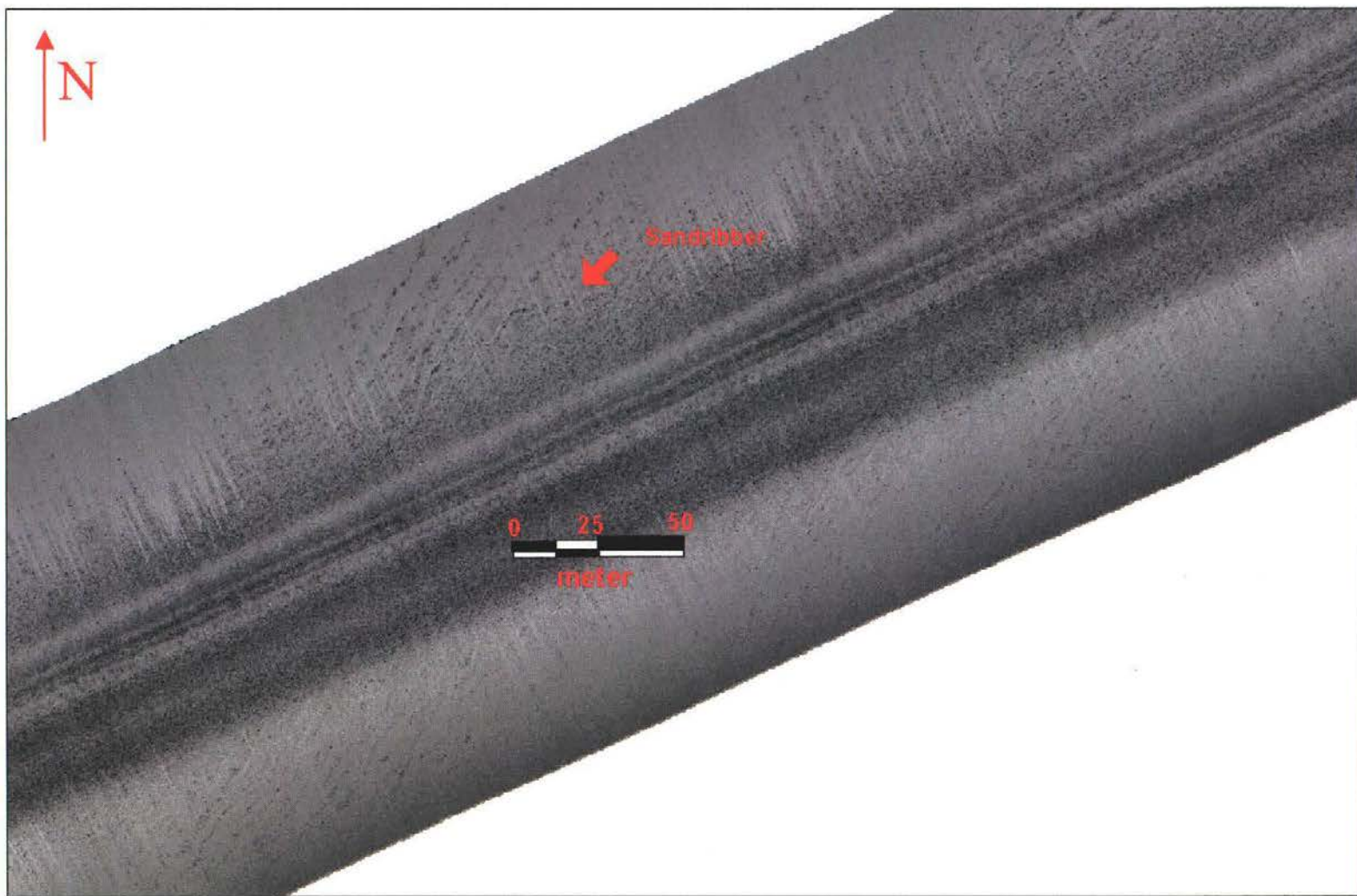
En oversigt over side-scan sonar linien med ovennævnte tolkninger fremgår af Figur 7.



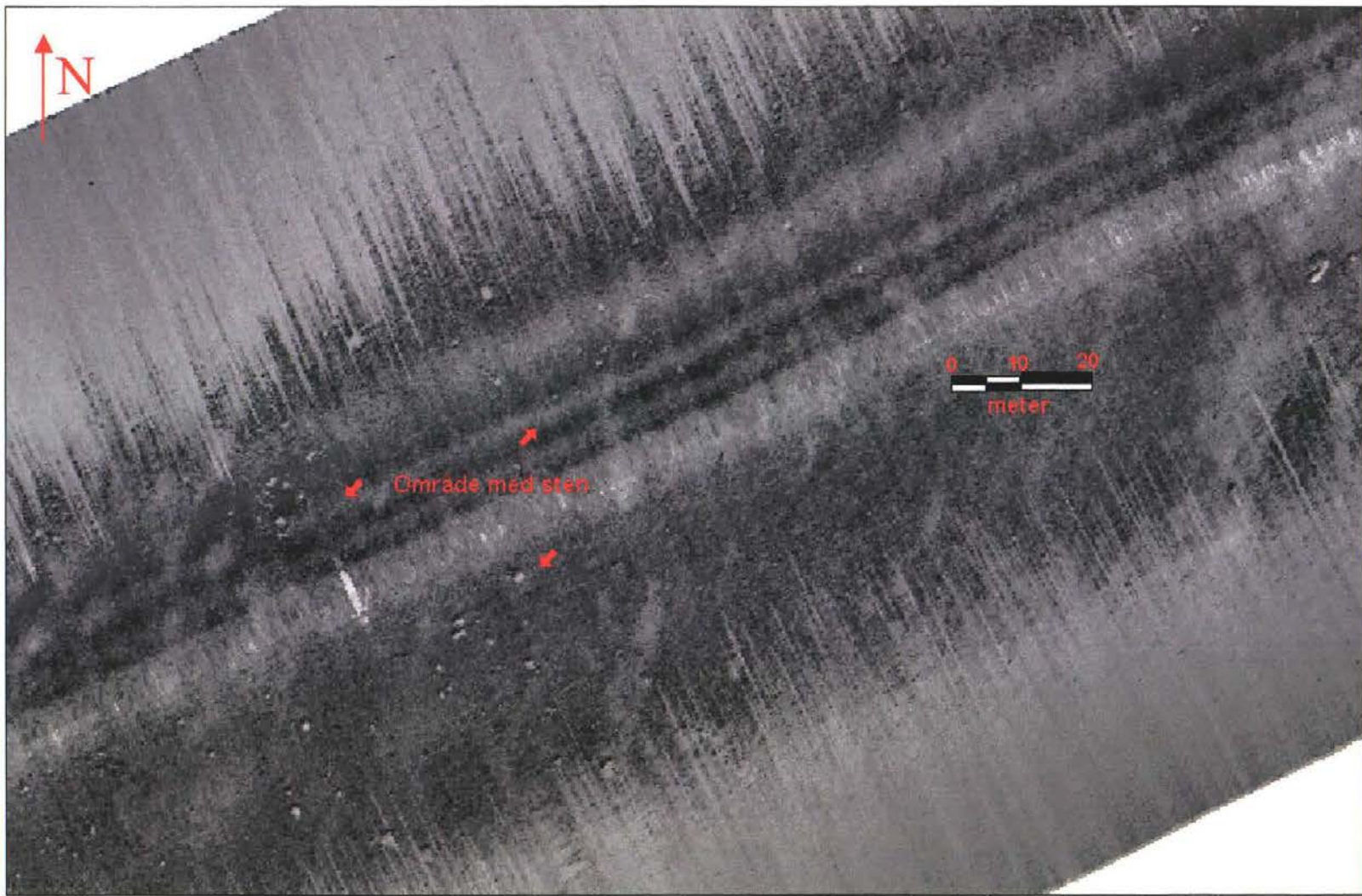
Figur 3. Udsnit af Side-scan sonar linien ved den objektlige refleksion, der er nævnt i teksten som "objekt 1".



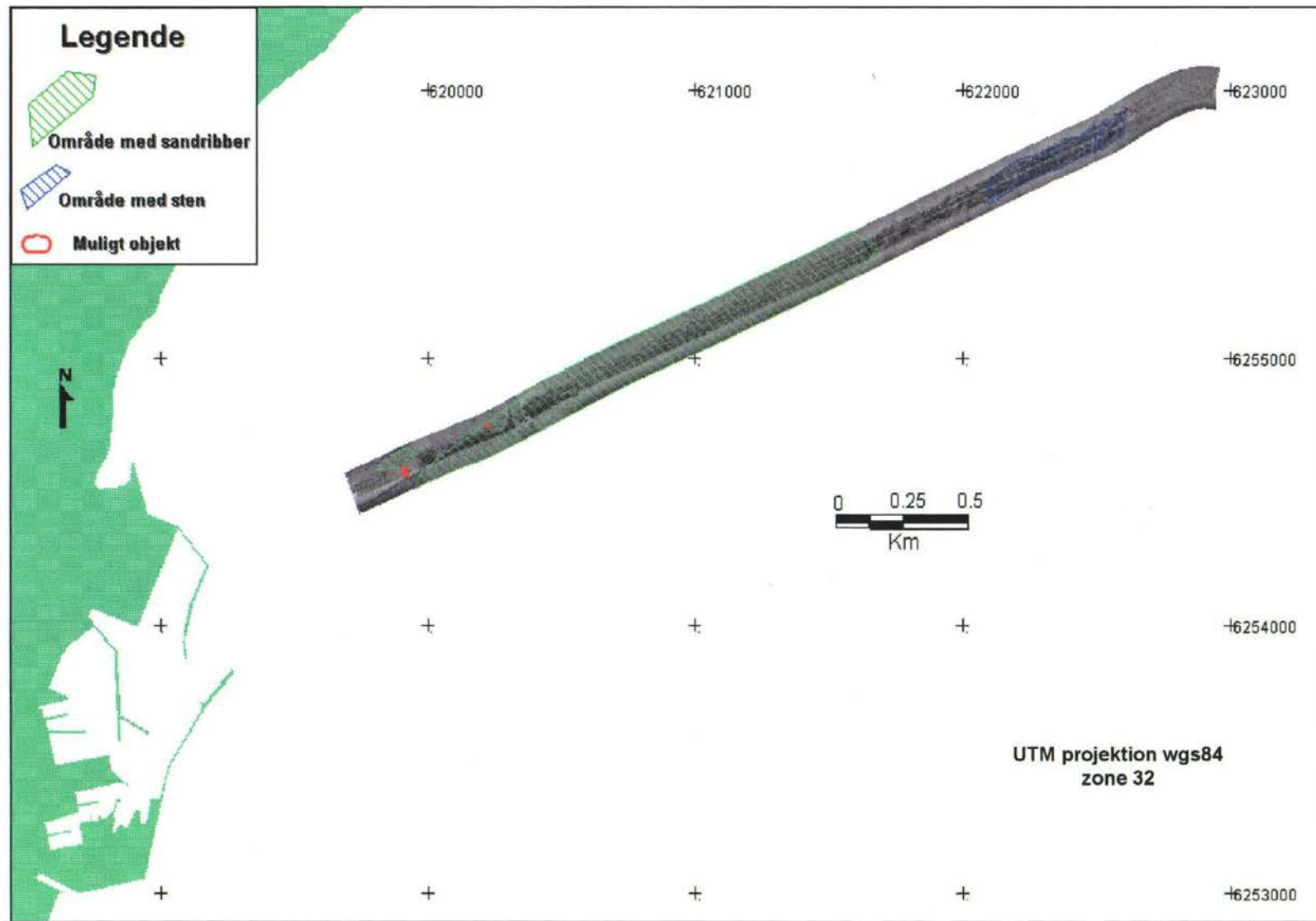
**Figur 4.** Udsnit af side-scan sonar linjen i den sydvestligste ende. Langs siderne af side-scan sonar billedeet ses hvad der formodentligt er kanten af sejlrenden. Til højre for midten ses fire stærkt reflekterende bånd, der i teksten er omtalt som "objekt2".



Figur5. Udsnit af side-scan sonar linien i et område med mange sandribber.



Figur 6. Udsnit af side-scan sonar linien fra et område med mange sten.



3

Figur 7. Med grå ses hele side-scan sonarlinien, der er optaget i sejlrenden. Områder med sandribber på havbunden er markeret med grønt og områder med en stenet havbund er markeret med blå. Længst mod SV er to mulige objekter markeret med rødt. "Objekt 2" er tættest på havnen.

## 3.2 Seismiske data (sparker data)

### 3.2.1 Processering af seismikken

De indsamlede seismiske data er af relativ god kvalitet med et rimeligt signal/støj forhold. Det største problem ved data har dog været de gentagne refleksioner mellem havbunden og vandoverfladen (kaldet multipler), der skyldes havbundens relative høje hårdhed. Der har i efterprocesseringen af data forgæves været forsøgt at fjerne disse multipel-ringninger ved hjælp af prediktiv dekonvolution. Den endelige processering af data, inden tolkningen, består i følgende: Data er først påført et bånd pass filter på 400 - 2400 Hz for at filtrere evt. lavfrekvent støj fra, - derefter en linear gain med et vindue på 0,3 ms, til at forstærke det seismiske signal i dybden og til slut et swell filter til dæmpning af virkningen af havets bølgebevægelse på seismikken.

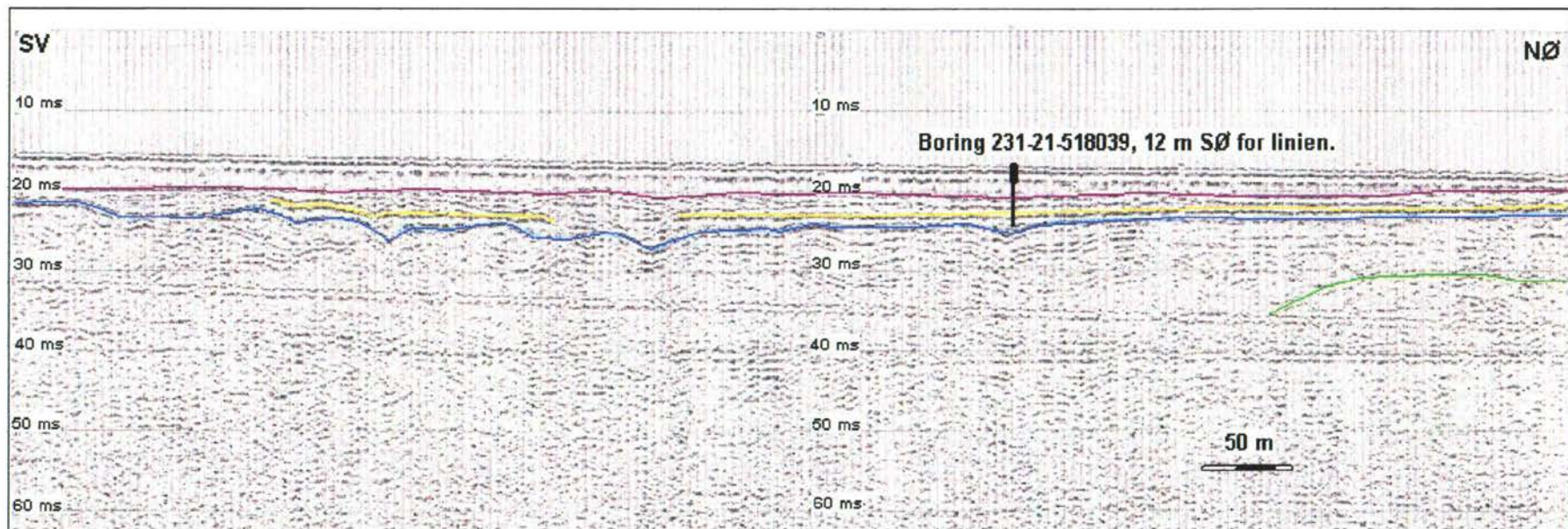
### 3.2.2 Tolkning af de seismiske linier

Der er indsamlet 2 seismiske linier i sejlrenden (Figur 2).

Den længste linie er placeret i sejllinien og er anvendt ved tolkningen, idet boringerne er placeret i denne linie (kopi af den originale seismiske linie er vedlagt som bilag 5.6). Den anden linie er kortere og krydser den første i en spids vinkel. Den er hovedsagelig placeret lidt syd for den første og er brugt som supplement i tolkningen af den første. Ved tolkningen er der til dels anvendt data fra de tidligere bundundersøgelser udenfor Grenå (Andersen *et al.* 2000a og Andersen *et al.* 2000b).

Den nederste sekvens, sekvens 1, der kan erkendes på de seismiske linier består af et svagt reflekterende materiale, der optræder semi-transparent. I enkelte områder, fx ved boring 231-21-518039, ses enkelte kraftige refleksioner i et lagdelt mønster (Figur 8). Sekvensen optræder langs hele linien og udgør størstedelen af materialet i boring 231-21-518043, der er placeret længst mod SV i profilet, og i boring 231-21-518042 i den nordøstlige ende af profilet. Sedimentet er en siltet ler med finsands laminae og enkelte tykkere sandlag. Sekvensen tolkes til at være en bassin udfyldning fra afsmeltingstiden, da smeltevandet fra gletscherne bragte store mængder sediment ud i Kattegat bassinet. Dette sediment er i ældre litteratur, f.eks. Nielsen (1967) benævnt som "det fossilfrie Yoldialer". Sedimentet bør mere korrekt benævnes Aalborg-leret (Berthelsen 1987). Sekvens 1 afgrænses opadtil af en erosionsflade (angivet med blå farve på figurerne 8 og 9), der formodentlig stammer fra perioden mellem Sen glacialtiden og Holocæn tiden, ofte benævnt "fastlandstiden", hvor området var tørt land med almindelig vandløbserosion. Sparkerlinien må tænkes at være et snit på tværs over en dal, der er udformet i afsmeltingstidens bassinudfyldning.

Sekvens 2, mellem den blå og den lilla reflektor, udfylder tilsyneladende et mindre bassin med mange lavninger. Omkring boring 231-21-518039, der ligger ca. 10 m SØ for linien, er sekvensen dog opdelt af en kraftig refleksion (angivet med gul farve), der formodentlig mar-



**Figur 8.** Udsnit af sparker linien fra sejlrenden ved boring 231-21-518039. På linien ses længst mod NØ den nederste afgrænsning af sekvens 1 markeret med grønt. Længere mod SV i profilet forsvinder refleksionen i multipler og støj. Sekvens 1 afgrænses opad til af en erosionsflade (markeret med blå) der danner et mindre bassin, med mange lavninger. Sekvens 2 (mellem blå og lilla refleksion) udfylder lavningerne i bassinet. Omkring boring 231-21-518039 er sekvensen dog opdelt ved en markant reflektion (markeret med gul). Refleksionen repræsentere formodentlig grænsen mellem en finkornet ferskvands aflejring overlejret af et tørvelag. Ovenover den markante refleksion ses endnu en lagdelt aflejring der i boringene beskrives som et tørvelag og en lagdelt ferskvandssilt. Sekvens 2 afgrænses opadtil (lilla) af en næsten transparent sekvens, der i boringen beskrives som en strukturløs marin sand. Dybdeskalaen er i millisekunder tovejstid, 10 ms svarer til 7,5 m for ukonsoliderede sedimenter (antaget lydhastighed i sedimentet er 1500 m/s).

kerer grænsen mellem tørvelaget og den underlejrende finkornede ferskvandsaflejring. Over den kraftige refleksion ses på seismikken, at den øvre del af sekvens 2 udgøres af en lagdelt sekvens, der i boringen viser sig at bestå af tørven og en lagdelt ferskvandssilt. Længere mod SV ved boring 231-21-518041 og ved boring 231-21-518040 ses sekvens 2 på seismikken alene som et fint lagdelt mønster af parallelle refleksioner (Figur 9). I boringerne viser dette sig at være en lagdelt ferskvandssilt efterfulgt af en lagdelt, heterolitisk ferskvands aflejring, der består af en veksellejring mellem finsand og ler. I boring 231-21-518040 er der iagttaget et par lithologisk finende opad sekvenser.

Ovenover disse fint lagdelte refleksioner fra ferskvandsaflejingerne ses på seismikken, ovenover den lilla farve, en transparent sekvens, sekvens 3, der fylder resten af bassinet op. Denne sekvens er gennemboret i boring 231-21-518039 og boring 231-21-518041, og den beskrives som en strukturløs marin sand-aflejring afsat i Holocæn tiden. Ved boring 231-21-5180440 går den transparente sekvens horisontalt over i en serie skrålejrede forsets, der i boringen viser sig at udgøres af lagdelte aflejringer af groft sand og grus (Figur 9).

### 3.3 Boringsdata

I forbindelse med undersøgelsen blev der udført 5 borer med GEUS's 6 m vibrocoring maskine på positioner, der var udvalgt til at give information om de sekvenser der var iagttaget på seismikken.

#### 3.3.1 Beskrivelse af borekernerne

Prøverøret og sedimentkernen er skåret op på langs, sedimentologisk beskrevet, prøvetaget og fotograferet. Den urørte og fotograferede kernehalvdel er lagt i en plaststrømpe i en nummereret kernekasse på GEUS' kernelager.

Prøvebeskrivelsen følger i det væsentlige Larsen *et al.* 1998. Farverne refererer til standarderne i Munsell, Soil Color Charts 1998. Resultaterne af den sedimentologiske beskrivelse af borerne fremgår af bilag 5.1. Fotografier af kernerne findes som bilag 5.2.

#### 3.3.2 Sedimentanalyserne

Sedimentanalyserne anvendes til detailbeskrivelser af borekernerne og derved til bedømning af sedimentets karakter og dannelse.

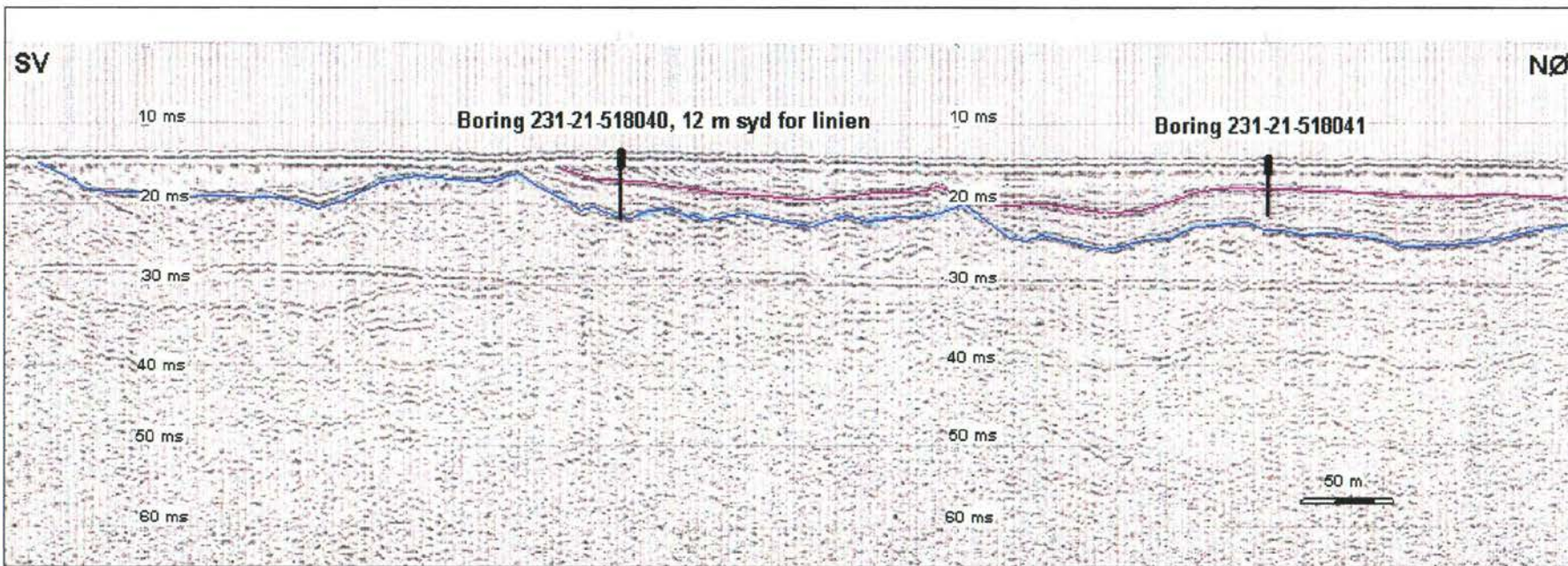
Vandindhold er bestemt ved tørring ved 105° jf. DS 405.11.

Resultaterne af analyserne af indholdet af tørstof findes i bilag 5.3.

Glødetab er bestemt ved glødning af tørret prøve ved 550° jf. DS 204.

Resultaterne af analyserne af glødetab fremgår af bilag 5.4.

Analyserne af kornstørrelsес fordelingen er foretaget i hht. DS 405.9.  
Resultaterne af kornstørrelsес analyserne fremgår af bilagene 5.5.



**Figur 9.** Udsnit af sparker linjen fra sejlrenden. På linjen ses den sydvestligste ende af den i teksten omtalte erosionsflade (blå), der afgrænsner den nederste sekvens (sekvens 1) opad til. Erosionsfladen danner et mindre bassin, med mange lavninger. I lavningerne længst mod NØ, ved boring 231-21-518040 og boring 231-21-518041, ses nederst en lagdelt sekvens (sekvens 2) af finkornede ferskvandsaflejringer. Længst mod NØ overlejres ferskvandsaflejringerne af en næsten transparent sekvens (sekvens 3), der fylder resten af lavningerne op. Denne sekvens beskrives i boring 231-21-518041 som en strukturløs marin sand aflejring formodentlig afsat i Holocen. Ved boring 231-21-518040 går denne sandaflejring over i groft sand og grus. Refleksionsmønsteret på seismikken afslører skrålaflejring af sedimentet på dette sted. Lavningen længst mod SV på figuren er fyldt op af en næsten transparant sekvens, som kunne ligne den strukturløse marine sand aflejring, der er beskrevet i boring 231-21-518041.

Dybdeskalaen er i millisekunder tovejstid, 10 ms svarer til 7,5 m for ukonsoliderede sedimenter (antaget lydhastighed i sedimentet er 1500 m/s).

## 4. Referencer

- Andersen, L.T., Anthonsen, K., Anthony, D. og Lomholt, S. (2000a): Grenå Havn bundundersøgelse. Danmarks og Grønlands Geologiske Undersøgelse Rapport 2000/51 (Fortrolig).
- Andersen, L.T., Anthonsen, K., Anthony, D. og Lomholt, S. (2000b): Grenå Vindmøllepark bundundersøgelse. Danmarks og Grønlands Geologiske Undersøgelse Rapport 2000/52 (Fortrolig).
- Berthelsen, O. (1987): Geologi i Aalborgområdet, råstoffer, fundering, vandindvinding, Danmarks Geologiske Undersøgelse, Miljøministeriet, København
- Christensen O.W. & Stenestad E. (1997): GEUS' kvalitetshåndbog, Danmarks og Grønlands Geologiske Undersøgelse, Miljø- og Energiministeriet.
- Larsen, G., Frederiksen, J., Villumsen, A., Fredericia, J., Gravesen, P., Foged, N., Knudsen, B. & Baumann.J. (1988): Vejledning i Ingeniørgeologisk prøvebeskrivelse. Dansk Geoteknisk Forening, dgf-bulletin 1, 145 pp.
- Munsell Color (1998): Munsell Soil Color Charts. Revised washable edition. GretagMacbeth, New York.
- Nielsen, A.V. (1967): Landskabets tilblivelse. I: Nørrevang, A. & Meyer, T.J. (eds.): Danmarks Natur, Landskaberne Opståen, Bind 1, s. 251-344, Politikens Forlag, København.

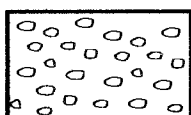
## **5. Bilagsoversigt**

- 5.1 Beskrivelse af borekerner
- 5.2 Fotografier af borekerner
- 5.3 Bestemmelse af vandindhold
- 5.4 Bestemmelse af glødetab
- 5.5 Kornstørrelsес analyser
- 5.6 Sparker linien

## **5.1 Beskrivelse af borekerner**

# SIGNATURFORKLARING

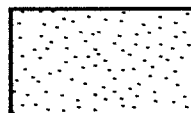
## LITHOLOGI



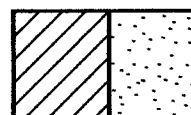
GRUS



SAND, gruset



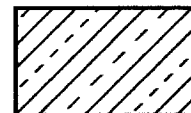
SAND



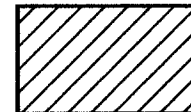
Heterolit,  
ler/sand



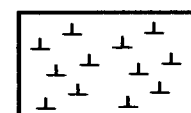
SILT



LER, siltet

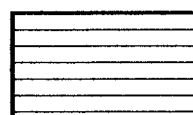


LER

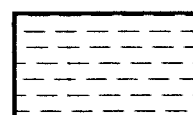


TØRV

## SEDIMENTSTRUKTUR



Parallel lamination



Utydelig lamination

## MILJØ OG ALDER

HG Holocænt marint grus

HS Holocænt marint sand

HL Holocænt marint ler

FT Holocænt ferskvandstørv

FL Holocænt ferskvandsler

TG Senglacialt grus

TS Senglacialt sand

TL Senglacialt ler

# SEDIMENTOLOGISK KERNE LOG

KERNE NR.: 231-21-518039

POSITION: 621482E 6255517N Vand dybde: 13,2m

Prøve dybde	Kerne PKnr.	Skala	Litho-logi	Middelkornstørrelse og sedimentære strukturer	Beskrivelse
	I	0,58			0,0 - 136: SAND, fint, svagt siltholdigt, finende opad, strukturløst, få skalfragmenter, få gruskorn i nedre del, nederste del: flere skalfragmenter og få skaller ( <i>Cardium sp.</i> ), grå GLEY1 5/N HS
1,80-1,85	II	1			- 1,80: SAND, fint, og mellem, rigt på skaller ( <i>Arctica islandica</i> , <i>Mytilus edulis</i> , <i>Cardium sp.</i> , o.a.), H <sub>2</sub> S-lugt, grå GLEY1 5/N HS
	III	2			- 2,93: SAND, fint, svagt siltholdigt, utydelig lagdelt, grovende opad, få skaller og skalfragmenter, grå GLEY1 5/N HS
	IV	3			- 3,15: Heterolith: SAND, fint, mellem og groft, lagdelt, med gruskorn, skaller og skalfragmenter og SILT, leret, grå GLEY1 5/N FL
3,50-3,55	V	4			- 3,83: SILT, vekslende lerindhold, lagdelt, enkelte sand laminae, højt organisk indhold, grenstump, H <sub>2</sub> S-lugt, meget mørk grå 10YR 3/1 FT
	VI	5			- 4,25: TØRV, fast, lagdelt, med planterester, sort 7,5YR 2,5/1 og mørk brun 10YR 3/4 FL
5,10-5,15		6			- 4,42: LER, siltholdigt, lagdelt, øvre del: rigt på skaller og skalfragmenter, planterester, bleg brun 10YR 5/1 og grå 10YR 5/1 TS
					- 5,18: SAND, fint og meget fint, siltholdigt, utydelig lagdelt, i top: planterester (rødder?), nedre del: silt laminae, lagdelt, rigt på organisk materiale, ved 5,00: sort plet, grå GLEY1 5/N TL
					- 5,58: LER, siltholdigt, med talrige sand laminae, lagdelt, ved 5,45: grenstump, ved 5,52: lamina med organisk materiale, grønlig grå GLEY2 5/1
08.07.02	PK	0,002	0,02	fin Sand	Denmarks og Grønlands Geologiske Undersøgelse GEUS Bilag
Dato	Beskrevet af	0,06	0,2	mel. 0,6	mm
		0,2	0,6	grov 2	
		0,6	2	Grus 6	
		2	20	Sten	

# SEDIMENTOLOGISK KERNE LOG

KERNE NR.: 231-21-518040

POSITION: 621482E 6255517N Vand dybde: 10,5m

Prøve dybde	Kerne PKV/nr.	Skala	Litho-logi	Middelkornstørrelse og sedimentære strukturer	Beskrivelse
1,18-1,28	I	0,98	1	X	0,0 - 0,30: GRUS, fint og groft, sandet, enkelte sten, afrundede korn (flint og kalk), få skålfragmenter, grå GLEY I 6/I - 2,45: SAND, mellem og groft, gruset, få sten, afrundede klaster, skålfragmenter, H <sub>2</sub> S-lugt, grå GLEY I 6/I
2,53-2,58	II	1	2	X	
3	III	2,53	3	X	- 2,85: SAND, fint og mellem, lagdelt, lerede silt laminae, 2-3 finene opad sekvenser, få gruskorn, få skålfragmenter, grå GLEY I 5/N
4	IV	3,32			- 3,32: Heterolith: LER, siltholdigt, lamineret og SAND, fint, lagdelt, med planterester og få skaller og skålfragmenter, H <sub>2</sub> S-lugt, grå GLEY I 6/N og lys grønlig grå GLEY I 7/I
5	V	4,26			- 4,26: SAND, fint og meget fint, u tydelig lagdelt, enkelte lerede slirer, få gruskorn, nederst: flere lerslirer, H <sub>2</sub> S-lugt, grå GLEY I 5/N
5,20-5,28	VI	5,98	5		- 5,98: LER, siltholdigt, enkelte sandslirer, enkelte sandlommer, lagdelt, få mørke pletter og laminae med organisk materiale, svag H <sub>2</sub> S-lugt, grønlig grå GLEY2 5/I
6		6,59	6		
		m			
			Ler Silt	fin mel. grov Sand Grus Sten	
09.07.02	PK		0.002 0.02 0.06 0.2 0.4 0.6 2 6 20	mm	Denmarks og Grønlands Geologiske Undersøgelse GEUS Bilag
Dato	Beskrevet af				

# SEDIMENTOLOGISK KERNE LOG

KERNE NR.: 231-21-518041

POSITION: 620759E 6255117N

Vand  
dybde: 11,0 m

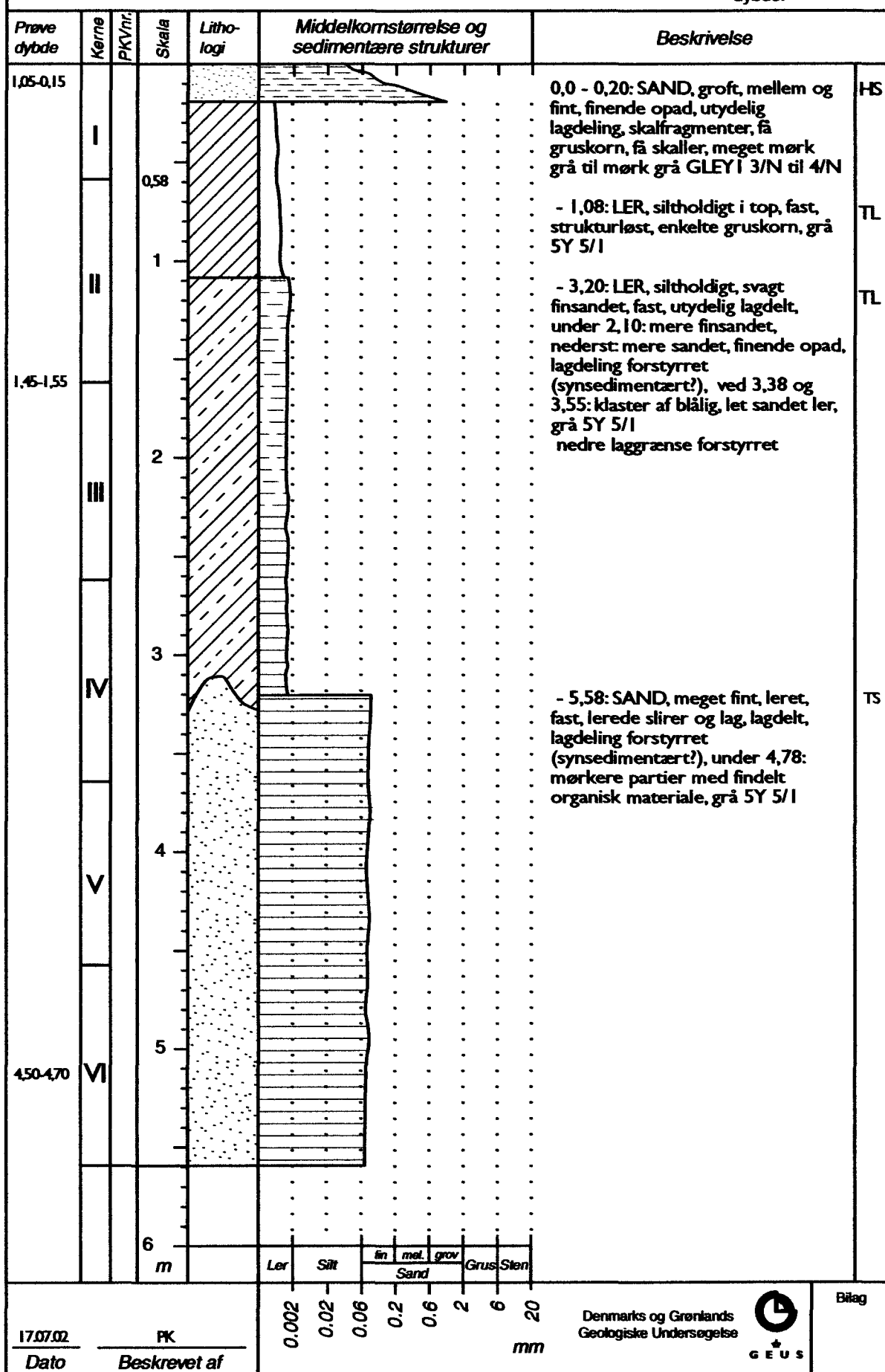
Prøve dybde	Kerne nr.	PK/nr.	Skala	Litho- logi	Middelkornstørrelse og sedimentære strukturer	Beskrivelse	
8,60 -0,70	I		0,27			0,0 - 0,05 Pose: "Top": SAND, fint, skalfragmenter, gråbrun 2.5Y 5/2	HS
	II		1			- 1,95: SAND, fint, siltholdigt, blødt, strukturløst, få gruskorn, enkelte skaller og skalfragmenter, enkelte grenstumper, nedefter tydelig H <sub>2</sub> S-lugt, grønlig grå GLEY2 5/1	
2,65 -2,75	III		2			- 4,23: SAND, fint, svagt siltholdigt, enkelte gruskorn, øverst: utydelig lagdelt, under 2,80: adskillige lag og slirer af siltholdigt ler, lagdelt, ved 3,75 og 3,78: laminae rige på organisk materiale, ved 4,00: enkelt skal, grå GLEY1 5/N	TS
	IV		3				
	V		4				
4,95 -5,05	VI		5			- 5,27: LER, siltholdigt, lagdelt med finsands laminae og lommer, enkelte grenstumper, enkelte laminae og "pletter" med organisk materiale, svag H <sub>2</sub> S-lugt, grønlig grå GLEY2 5/1	TL
			6				
			m	Ler	Silt	fin mel. grov Sand Grus Sten	
10.07.02	PK		0,002 0,02 0,06 0,2 0,6 2 6 20	mm			Bilag
Dato	Beskrevet af						

# SEDIMENTOLOGISK KERNE LOG

KERNE NR.: 231-21-518042

POSITION: 622231E 6255902N

Vand  
dybde: 15,0 m



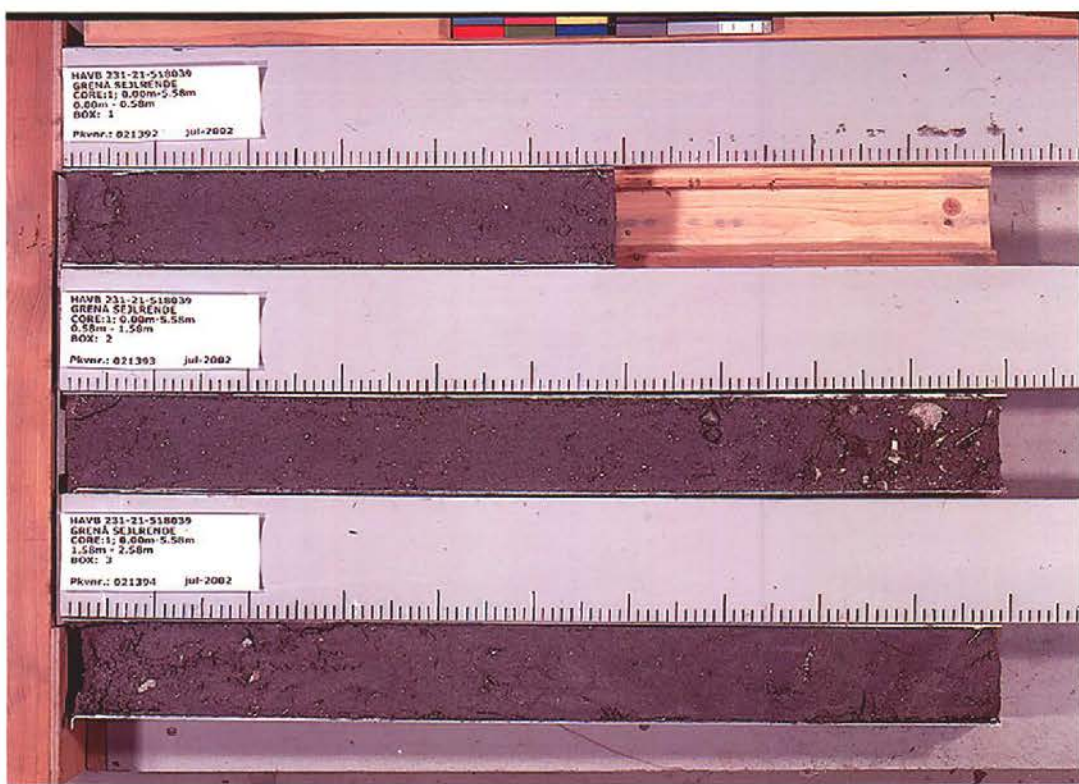
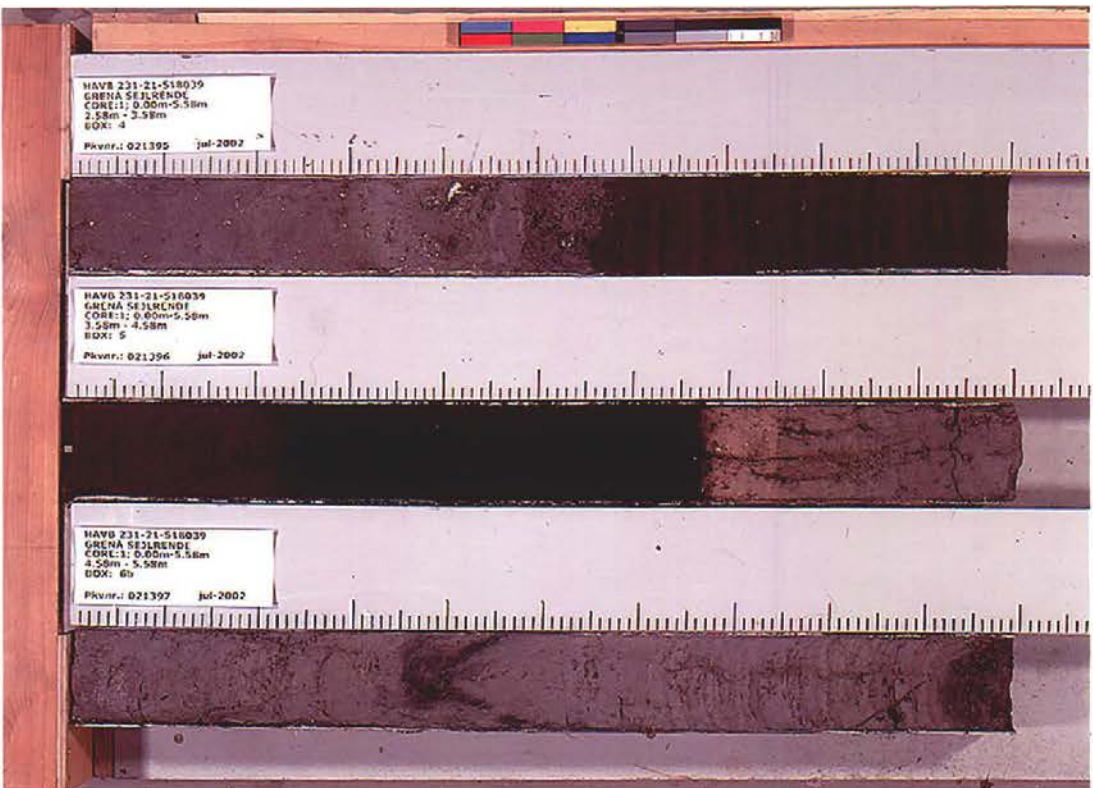
# SEDIMENTOLOGISK KERNE LOG

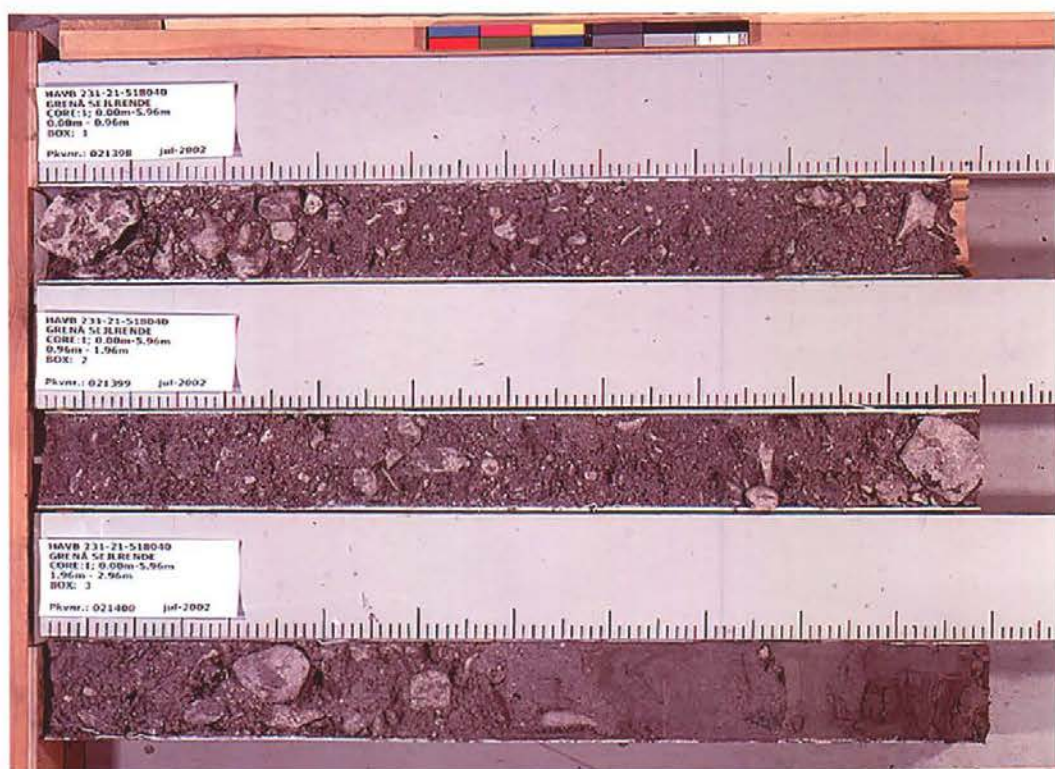
KERNE NR.: 231-21-518043

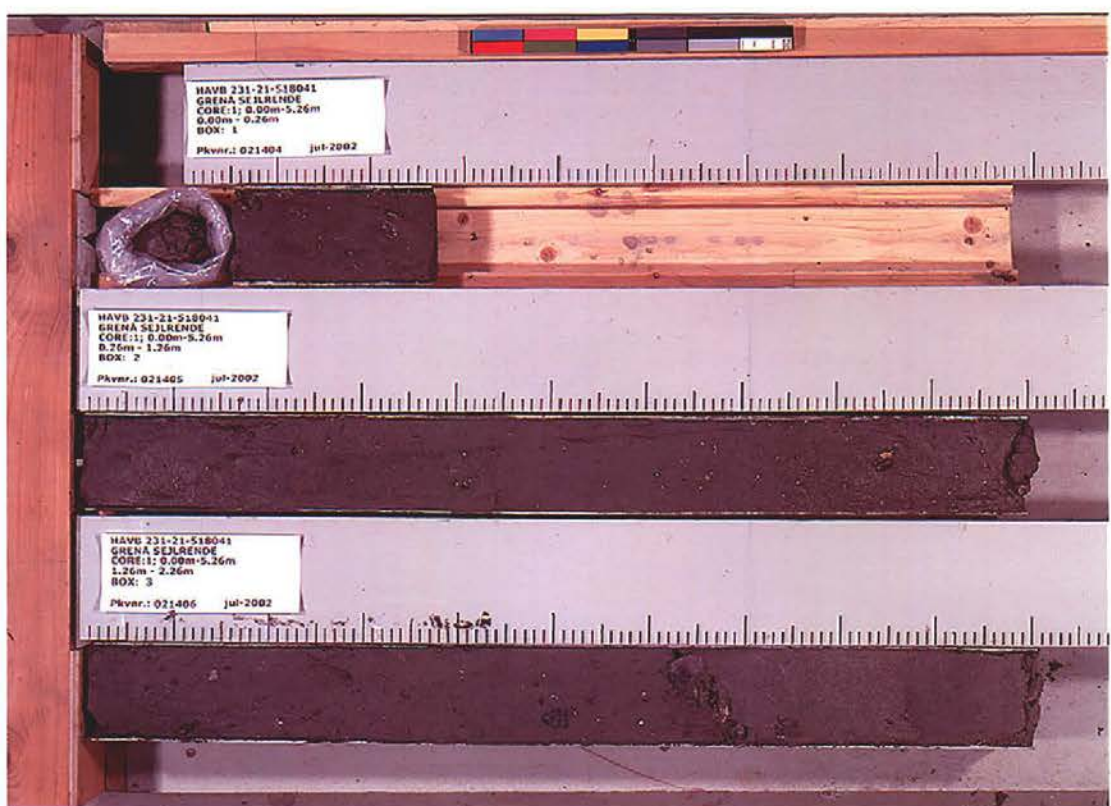
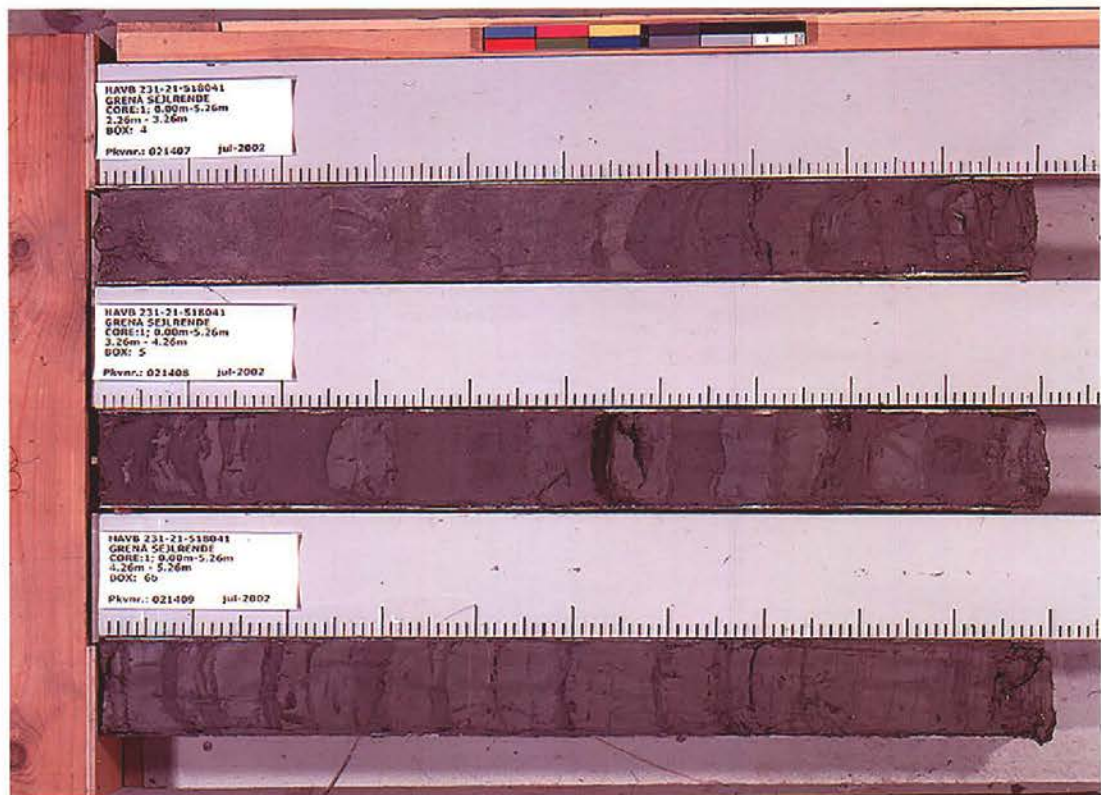
POSITION: 619704E 6254525N Vand dybde: 10,2m

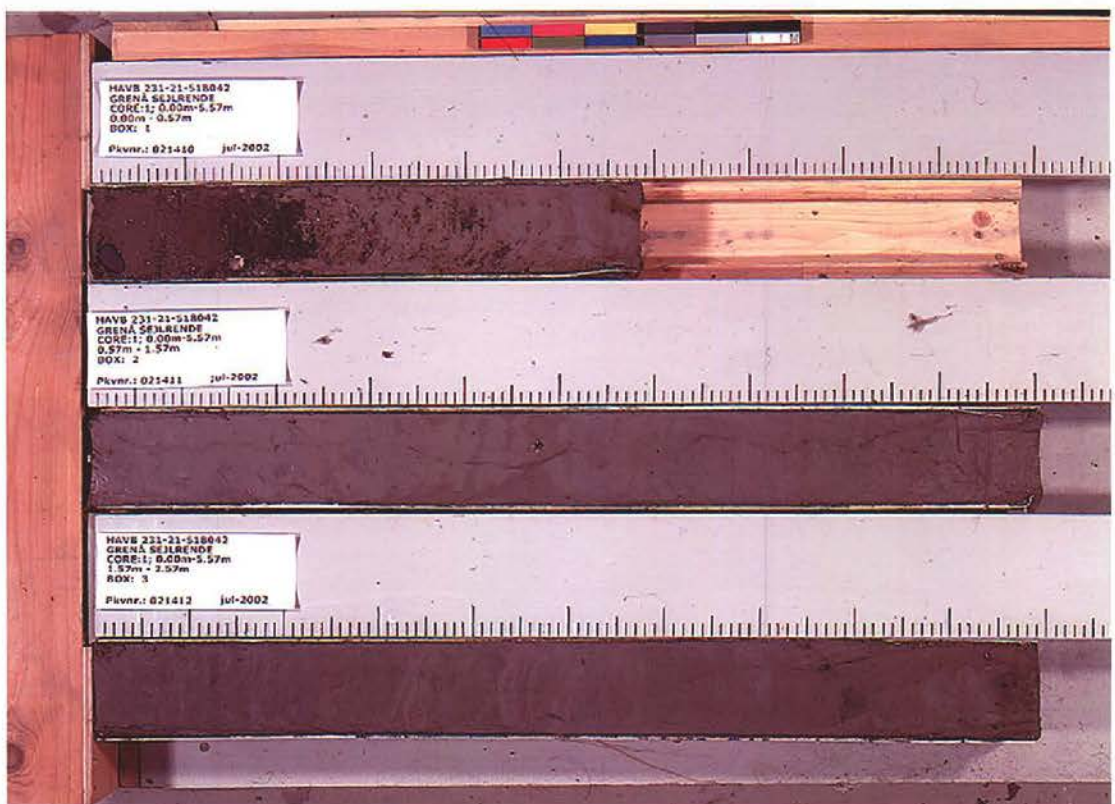
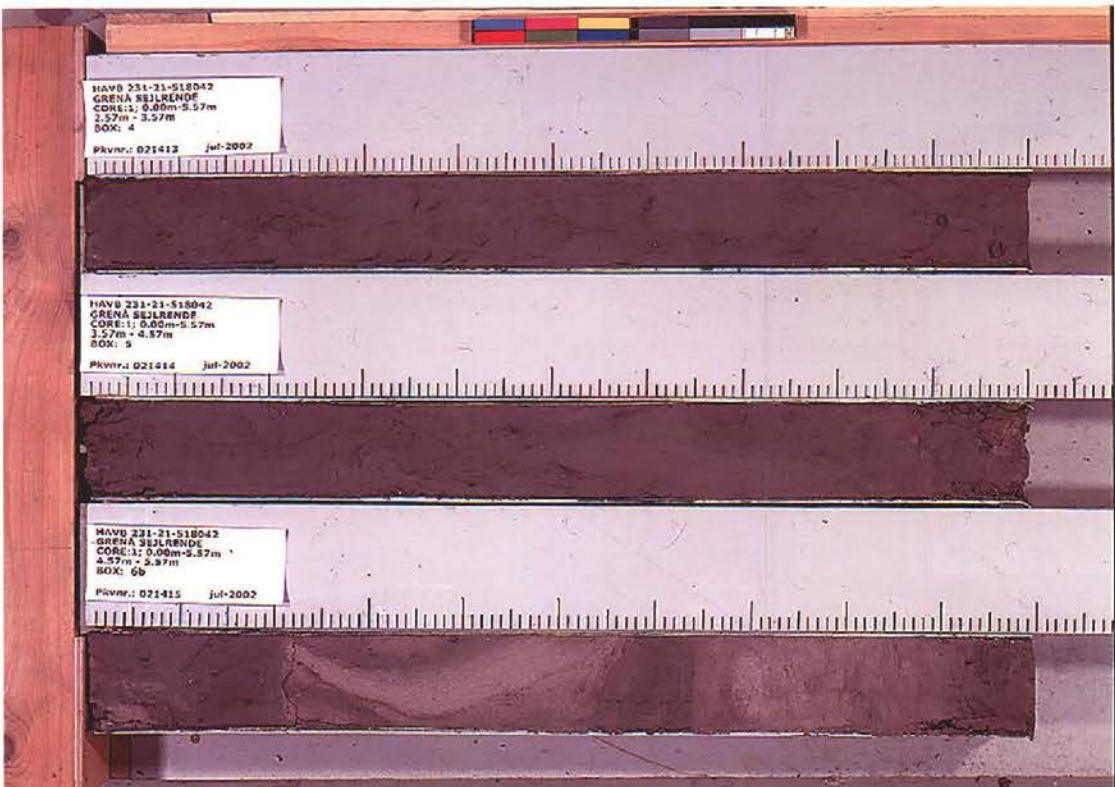
Prøve dybde	Kerne PK/Vnr	Skala	Litho-logi	Middelkornstørrelse og sedimentære strukturer	Beskrivelse
0,50-0,60	I				0,0 - 0,08: Pose: "Top": SAND, fint til mellem, siltholdigt, svagt gruset, skalfragmenter, gytjeholdigt, meget mørk grå GLEYI 3/N HS
1					- 0,16: SAND, fint, mellem og groft, gruset, stenet, skalfragmenter, mørk grå GLEYI 4/N HS
2	II				- 0,21: GRUS, sandet, gulbrunt. 10YR 5/4 TG
2,20-2,30	II				- 0,33: Heterolith: SAND, fint og mellem, svagt fingruset og LER, siltholdigt, lagdelt, delvis blandet med sandet (ved boring?), hvid 10YR 8/1 og lys grå 5Y 7/1 og gulbrun 10YR 5/4 TS/TL
3					- 4,90: LER, siltholdigt, lagdelt, mange laminae og lommer med finsand, enkelte gruskorn, enkelte laminae med mørkt, fint, organisk materiale, under 4,00: flere sand-laminae og -lag, grå 5Y 5/1 TL
IV					
V					
4,90-5,00					- 5,08: SAND, fint, lagdelt, med lerede slirer, enkelte fingrus klaster, grå 5Y 5/1 og 6/1
5,08					
6 <sup>5,98</sup>					
m					
			Ler	Silt	fin Sand mel. Grav
					Grus Sten
11.07.02	PK		0.002	0.2	0.6
Dato	Beskrevet af		0.4	0.6	2
			0.8	2	6
			1.2	4	20
					mm
				Denmarks og Grønlands Geologiske Undersøgelse	
				 GEUS	Bilag

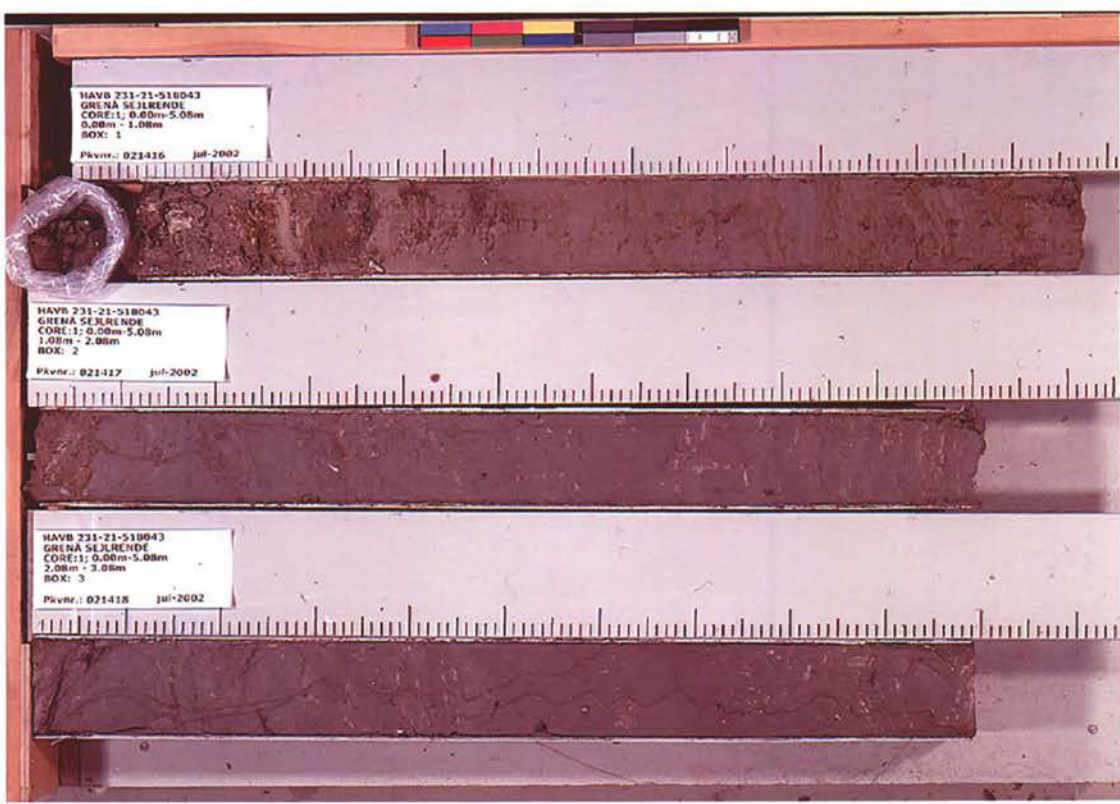
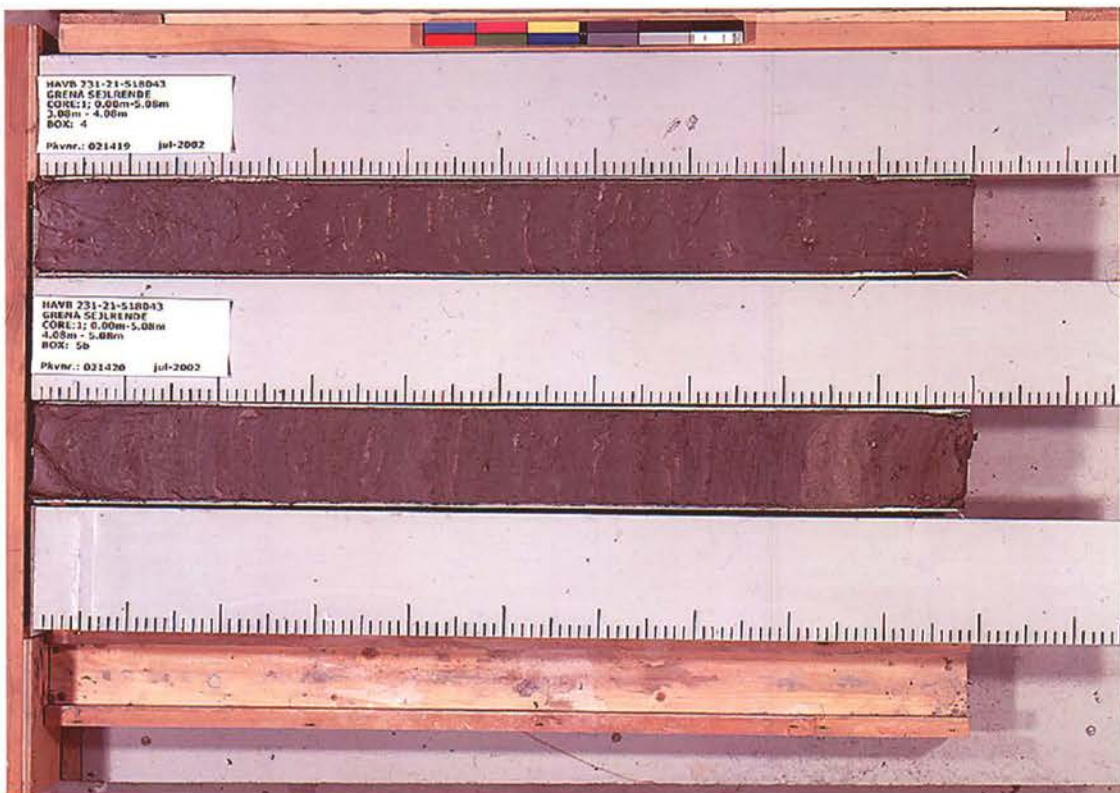
## **5.2 Fotografier af borekerner**











### **5.3 Bestemmelse af vandindhold**

# Grenå Sejlrende

## Vandindhold

DS 405.11

lab nr.	lokalitet	dybde	Vandindh. %	Tørstof %
20487	Boring 231-21-518039	1,80 - 1,85 m u. top	18,9	81,1
20488	Boring 231-21-518039	3,50 - 3,55 m u. top	17,6	82,4
20489	Boring 231-21-518039	5,10 - 5,15 m u. top	18,2	81,8
20490	Boring 231-21-518040	1,18 - 1,28 m u. top	15,2	84,8
20491	Boring 231-21-518040	2,53 - 2,58 m u. top	16,4	83,6
20492	Boring 231-21-518040	5,20 - 5,28 m u. top	30,6	69,4
20493	Boring 231.21.518041	0,60 - 0,70 m u. top	17,9	82,1
20494	Boring 231.21.518041	2,65 - 2,75 m u. top	16,4	83,6
20495	Boring 231.21.518041	4,95 - 5,05 m u. top	43,7	56,3
20496	Boring 231-21-518042	0,05 - 0,15 m u. top	13,7	86,3
20497	Boring 231-21-518042	1,45 - 1,55 m u. top	14,6	85,4
20498	Boring 231-21-518042	4,60 - 4,70 m u. top	13,2	86,8
20499	Boring 231-21-518043	0,50 - 0,60 m u. top	16,9	83,1
20500	Boring 231-21-518043	2,20 - 2,30 m u. top	19,4	80,6
20501	Boring 231-21-518043	4,90 - 5,00 m u. top	15,6	84,4

## **5.4 Bestemmelse af glødetab**

# Grenå Sejlrende

## Glødetab

DS 204

Lab nr.	Lokalitet	Dybde	Glødetab i %	Gløderest i %
20487	Boring 231-21-518039:	1,80 - 1,85 m u. top	1,3	98,7
20488	Boring 231-21-518039:	3,50 - 3,55 m u. top	1,4	98,6
20489	Boring 231-21-518039:	5,10 - 5,15 m u. top	4,7	95,3
20490	Boring 231-21-518040:	1,18 - 1,28 m u. top	2,3	97,7
20491	Boring 231-21-518040:	2,53 - 2,58 m u. top	1,8	98,2
20492	Boring 231-21-518040:	5,20 - 5,28 m u. top	5,9	94,1
20493	Boring 231.21.518041:	0,60 - 0,70 m u. top	2,3	97,7
20494	Boring 231.21.518041:	2,65 - 2,75 m u. top	0,9	99,1
20495	Boring 231.21.518041:	4,95 - 5,05 m u. top	9,8	90,2
20496	Boring 231-21-518042 :	0,05 - 0,15 m u. top	1,2	98,8
20497	Boring 231-21-518042 :	1,45 - 1,55 m u. top	4,0	96,0
20498	Boring 231-21-518042 :	4,60 - 4,70 m u. top	2,0	98,0
20499	Boring 231-21-518043:	0,50 - 0,60 m u. top	2,7	97,3
20500	Boring 231-21-518043:	2,20 - 2,30 m u. top	4,8	93,8
20501	Boring 231-21-518043:	4,90 - 5,00 m u. top	0,5	99,5

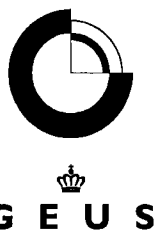
## **5.5 Kornstørrelsес analyser**

# Grain Size Distribution

Geotechnical

**Sample Id:** 231-21-518039 1,80-1,85 m.u. top  
**Lab. Id:** 20487  
**Submitter:** Carl Bro  
**Subject:** Grenå Sejlrende  
**Date:** juli 2002  
**Executed:** I. Nørgaard.  
**Remarks:** For mat.< 2mm. Org.mat. ikke fjernet før sedigrafanal. For lille ler/siltfrakt. til pålidelig sedigrafanal.,

**Total Weight** 112,08 g



## Size Fractions

**Sieve Analysis**

	Size mm	Size $\Phi$	Weight g	Weight %	Cumulated amount passing %
Gravel	16,00	-4,00	0,00	0,00	100,00
Gravel	8,00	-3,00	0,00	0,00	100,00
Sand	4,00	-2,00	0,18	0,16	99,84
Sand	2,80	-1,49	0,05	0,04	99,79
Sand	2,00	-1,00	0,06	0,05	99,74
Sand	1,40	-0,49	0,10	0,09	99,65
Sand	1,00	0,00	0,11	0,10	99,55
Sand	0,710	0,49	0,21	0,19	99,37
Sand	0,500	1,00	0,40	0,36	99,01
Silt	0,355	1,49	0,44	0,39	98,62
Silt	0,250	2,00	6,39	5,70	92,92
Silt	0,180	2,47	47,93	42,76	50,15
Silt	0,125	3,00	46,76	41,72	8,43
Silt	0,090	3,47	4,11	3,67	4,76
Clay	0,063	3,99	1,10	0,98	3,78
Clay	0,0442	4,50	0,15	0,13	3,65
Clay	0,0312	5,00	0,16	0,14	3,51
Clay	0,0221	5,50	0,15	0,14	3,37
Clay	0,0156	6,00	0,22	0,20	3,17
Clay	0,0110	6,51	0,29	0,26	2,92
Clay	0,0078	7,00	0,23	0,21	2,71
Clay	0,0055	7,51	0,26	0,23	2,48
Clay	0,0039	8,00	0,17	0,15	2,33
Clay	0,0028	8,48	0,24	0,21	2,12
Clay	0,0020	8,97	0,22	0,19	1,92
Clay	<0,0020	>8,97	2,16	1,92	0,00

## Size Classes (DGF-Bulletin 1 1988)

		Weight %
Clay	(< 0,002 mm):	1,92
Silt, fine	(0,002 mm - 0,006 mm):	0,61
Silt, medium	(0,006 mm - 0,020 mm):	0,77
Silt, coarse	(0,020 mm - 0,063 mm):	0,47
Sand, fine	(0,063 mm - 0,200 mm):	58,59
Sand, medium	(0,2 mm - 0,6 mm):	36,81
Sand, coarse	(0,6 mm - 2 mm):	0,56
Gravel	(> 2 mm):	0,26
Sum:		100,00

## Moments Measures

Percentile	Percentile	d(mm)	$\Phi$
Amount in sieve	Amount passing		
5%	95%	0,29	1,79
16%	84%	0,24	2,09
25%	75%	0,22	2,18
40%	60%	0,20	2,35
50%	50%	0,18	2,48
75%	25%	0,15	2,77
84%	16%	0,13	2,89
90%	10%	0,13	2,98
95%	5%	0,09	3,44

## Moments Statistics

Mean	2,48
Sorting	0,45
Skewness	0,10
Kurtosis	1,15
Uniformity Coefficient	1,54

The analysis is executed according to DS 405.9 extended by sieves to the ½ phi scale

Size Classes and Percentiles are found by linear interpolation

## Formulas

Mean ( $\phi 16\% + \phi 84\% + \phi 50\% / 3$ ) (Folk and Ward 1957)

Sorting ( $\phi 84\% - \phi 16\% / 4 + (\phi 95\% - \phi 5\%) / 6,6$ ) (Folk and Ward 1957)

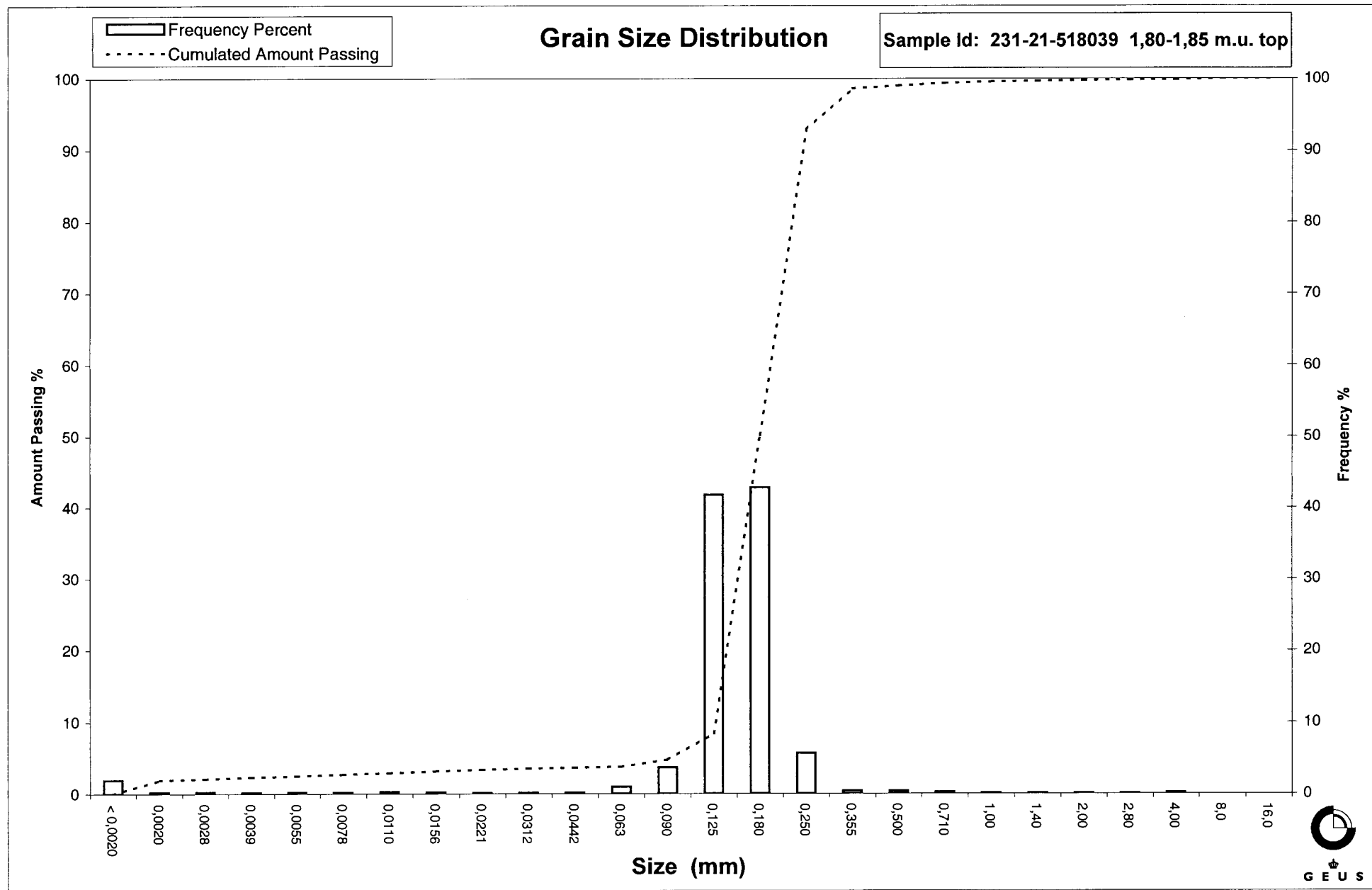
Kurtosis ( $\phi 95\% - \phi 5\% / (2,44 * (\phi 75\% - \phi 25\%))$ ) (Folk and Ward 1957)

Skewness ( $(\phi 16\% + \phi 84\% - 2 * \phi 50\%) / (2 * (\phi 84\% - \phi 16\%)) + (\phi 5\% + \phi 95\% - 2 * \phi 50\%) / (2 * (\phi 95\% - \phi 5\%))$ ) (Folk and Ward 1957)

Uniformity Coefficient ( $d60\% / d10\%$ ) (dgr-Bulletin 1988)

Mean, sorting, skewness and kurtosis are based on "Amount in sieve". Uniformity coefficient is based on "Amount passing".

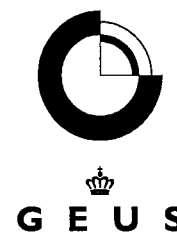
Thoravej 8, DK-2400 Copenhagen NW  
 Tel.: +45 38 14 20 00 Telefax: +45 38 14 20 50  
 Email: GEUS@neus.dk



# Grain Size Distribution

Geotechnical

**Sample Id:** 231-21-518039 3,50-3,55 m.u. top  
**Lab. Id:** 20488  
**Submitter:** Carl Bro  
**Subject:** Grenå Sejrende  
**Date:** juli 2002  
**Executed:** I. Nørgaard.  
**Remarks:** For mat.< 2mm. Org.mat. ikke fjernet før sedigrafanal.



**Total Weight** 101,31 g

## Size Fractions

Size	Size	Weight	Weight	Cumulated amount passing
mm	Φ	g	%	%
16,00	-4,00	0,00	0,00	100,00
8,00	-3,00	0,00	0,00	100,00
4,00	-2,00	0,00	0,00	100,00
2,80	-1,49	0,00	0,00	100,00
2,00	-1,00	0,00	0,00	100,00
1,40	-0,49	0,05	0,05	99,95
1,00	0,00	0,06	0,06	99,89
0,710	0,49	0,25	0,25	99,64
0,500	1,00	0,28	0,28	99,37
0,355	1,49	0,70	0,69	98,68
0,250	2,00	4,37	4,31	94,36
0,180	2,47	35,14	34,69	59,68
0,125	3,00	44,65	44,07	15,61
0,090	3,47	6,71	6,62	8,98
0,063	3,99	2,72	2,68	6,30
0,0442	4,50	0,61	0,60	5,69
0,0312	5,00	0,29	0,29	5,40
0,0221	5,50	0,24	0,24	5,16
0,0156	6,00	0,27	0,27	4,90
0,0110	6,51	0,41	0,40	4,49
0,0078	7,00	0,46	0,45	4,04
0,0055	7,51	0,49	0,48	3,55
0,0039	8,00	0,43	0,42	3,13
0,0028	8,48	0,35	0,34	2,79
0,0020	8,97	0,35	0,35	2,44
<0,0020	>8,97	2,47	2,44	0,00

Gravel

Sand

Sedigraph Analysis

Silt

Clay

The analysis is executed according to DS 405.9 extended by sieves to the ½ phi scale

## Size Classes (DGF-Bulletin 1 1988)

	Weight %
Clay	(< 0,002 mm): 2,44
Silt, fine	(0,002 mm - 0,006 mm): 1,22
Silt, medium	(0,006 mm - 0,020 mm): 1,42
Silt, coarse	(0,020 mm - 0,063 mm): 1,22
Sand, fine	(0,063 mm - 0,200 mm): 63,29
Sand, medium	(0,2 mm - 0,6 mm): 29,91
Sand, coarse	(0,6 mm - 2 mm): 0,50
Gravel	(> 2 mm): 0,00
Sum:	100,00

## Moments Measures

Percentile	Percentile	d(mm)	Φ
Amount in sieve	Amount passing		
5%	95%	0,27	1,91
16%	84%	0,23	2,13
25%	75%	0,21	2,25
40%	60%	0,18	2,47
50%	50%	0,17	2,57
75%	25%	0,14	2,87
84%	16%	0,13	2,99
90%	10%	0,10	3,39
95%	5%	0,02	5,79

## Moments Statistics

Mean	2,56
Sorting	0,80
Skewness	0,31
Kurtosis	2,54
Uniformity Coefficient	1,89

Size Classes and Percentiles are found by linear interpolation

## Formulas

Mean ( $\phi_{16\%} + \phi_{84\%} + \phi_{50\%}$ ) / 3 (Folk and Ward 1957)

Sorting ( $\phi_{84\%} - \phi_{16\%}$ ) / 4 + ( $\phi_{95\%} - \phi_{5\%}$ ) / 6,6 (Folk and Ward 1957)

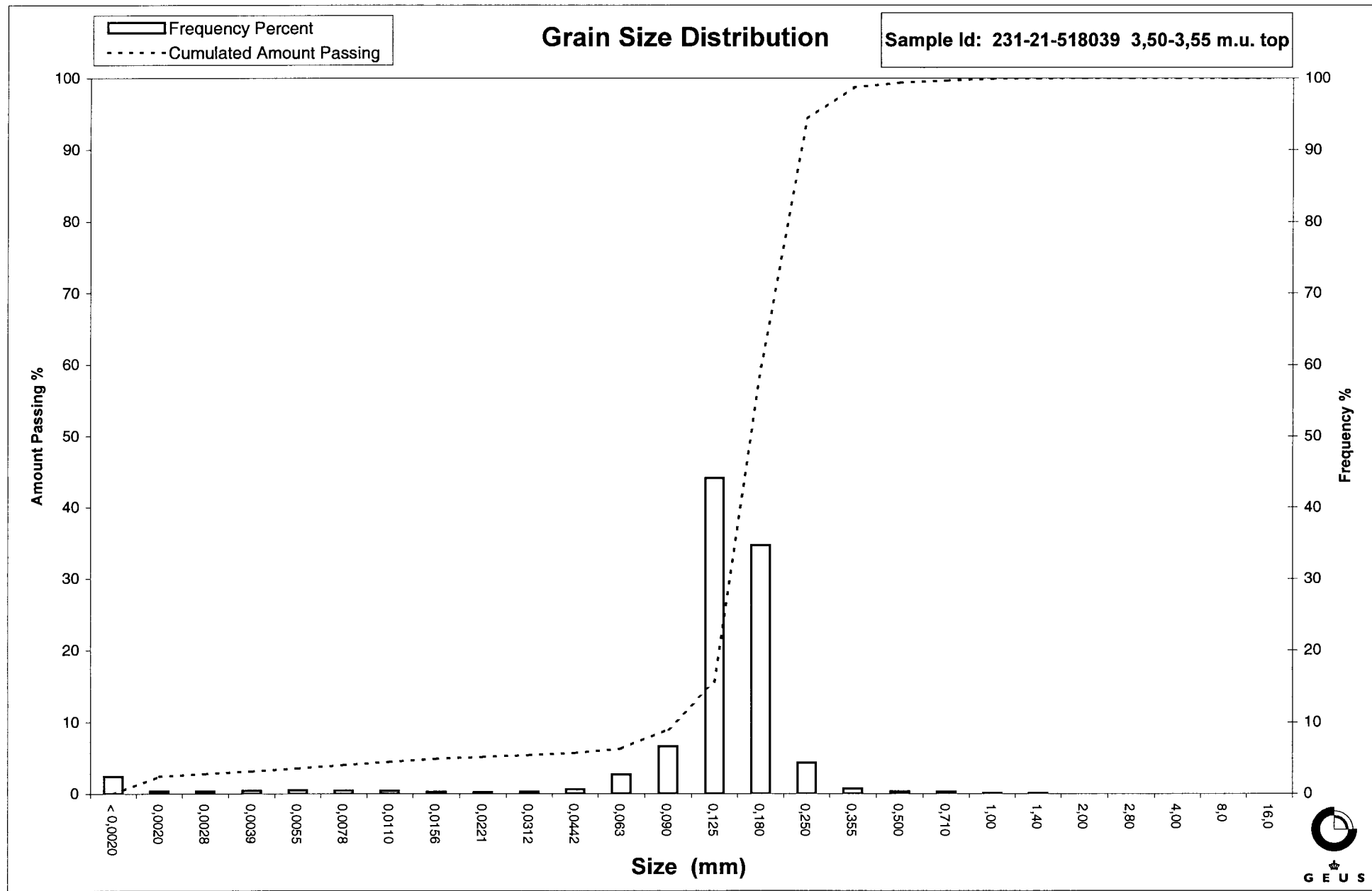
Kurtosis ( $\phi_{95\%} - \phi_{5\%}$ ) / (2,44 \* ( $\phi_{75\%} - \phi_{25\%}$ )) (Folk and Ward 1957)

Skewness ( $(\phi_{16\%} + \phi_{84\%}) - 2 * \phi_{50\%}$ ) / (2 \* ( $\phi_{84\%} - \phi_{16\%}$ )) + ( $\phi_{5\%} + \phi_{95\%} - 2 * \phi_{50\%}$ ) / (2 \* ( $\phi_{95\%} - \phi_{5\%}$ )) (Folk and Ward 1957)

Uniformity Coefficient ( $d_{60\%} / d_{10\%}$ ) (dgf-Bulletin 1988)

Mean, sorting, skewness and kurtosis are based on "Amount in sieve". Uniformity coefficient is based on "Amount passing".

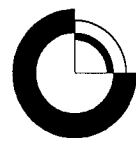
Thoravej 8, DK-2400 Copenhagen NW  
 Tel.: +45 38 14 20 00 Telefax: +45 38 14 20 50  
 Email: GEUS@geus.dk



# Grain Size Distribution

Geotechnical

**Sample Id:** 231-21-518039 5,10-5,15 m.u. top  
**Lab. Id:** 20489  
**Submitter:** Carl Bro  
**Subject:** Grenå Sejlrende  
**Date:** juli 2002  
**Executed:** I. Nørgaard.  
**Remarks:** For mat.< 2mm. Org.mat. ikke fjernet før sedigrafanal.



G E U S

**Total Weight** 99,08 g

## Size Fractions

Size mm	Size $\Phi$	Weight g	Weight %	Cumulated amount passing	%
16,00	-4,00	0,00	0,00	100,00	
8,00	-3,00	0,00	0,00	100,00	
4,00	-2,00	0,00	0,00	100,00	
2,80	-1,49	0,00	0,00	100,00	
2,00	-1,00	0,02	0,02	99,98	
1,40	-0,49	0,00	0,00	99,98	
1,00	0,00	0,00	0,00	99,98	
0,710	0,49	0,00	0,00	99,98	
0,500	1,00	0,02	0,02	99,96	
0,355	1,49	0,02	0,02	99,94	
0,250	2,00	0,06	0,06	99,88	
0,180	2,47	0,05	0,05	99,83	
0,125	3,00	0,41	0,41	99,41	
0,090	3,47	7,57	7,64	91,77	
0,063	3,99	38,96	39,32	52,45	
0,0442	4,50	2,84	2,87	49,59	
0,0312	5,00	4,29	4,33	45,26	
0,0221	5,50	2,73	2,76	42,50	
0,0156	6,00	2,04	2,05	40,45	
0,0110	6,51	1,98	2,00	38,45	
0,0078	7,00	2,20	2,22	36,23	
0,0055	7,51	2,14	2,16	34,07	
0,0039	8,00	2,52	2,54	31,53	
0,0028	8,48	3,11	3,14	28,39	
0,0020	8,97	3,54	3,57	24,82	
<0,0020	>8,97	24,59	24,82	0,00	

Gravel

Sand

Sedigraph Analysis

Silt

Clay

## Size Classes (DGF-Bulletin 1 1988)

	Weight %	
Clay	(< 0,002 mm):	24,82
Silt, fine	(0,002 mm - 0,006 mm):	9,72
Silt, medium	(0,006 mm - 0,020 mm):	7,30
Silt, coarse	(0,020 mm - 0,063 mm):	10,61
Sand, fine	(0,063 mm - 0,200 mm):	47,39
Sand, medium	(0,2 mm - 0,6 mm):	0,13
Sand, coarse	(0,6 mm - 2 mm):	0,01
Gravel	(> 2 mm):	0,02
Sum:		100,00

## Moments Measures

Percentile Amount in sieve	Percentile Amount passing	d(mm)	$\Phi$
5%	95%	0,10	3,25
16%	84%	0,08	3,56
25%	75%	0,08	3,67
40%	60%	0,07	3,87
50%	50%	0,05	4,41
75%	25%	0,00	8,94
84%	16%	#####	-----
90%	10%	#####	-----
95%	5%	#####	-----

## Moments Statistics

Mean	3,99
Sorting	-----
Skewness	-----
Kurtosis	-----
Uniformity Coefficient	-----

The analysis is executed according to DS 405.9 extended by sieves to the  $1/2$  phi scale

Size Classes and Percentiles are found by linear interpolation

## Formulas

Mean ( $\phi_{16\%} + \phi_{84\%} + \phi_{50\%}$ ) / 3 (Folk and Ward 1957)

Sorting ( $\phi_{84\%} - \phi_{16\%}$ ) / 4 + ( $\phi_{95\%} - \phi_{5\%}$ ) / 6,6 (Folk and Ward 1957)

Kurtosis ( $\phi_{95\%} - \phi_{5\%}$ ) / (2,44 \* ( $\phi_{75\%} - \phi_{25\%}$ )) (Folk and Ward 1957)

Skewness ( $\phi_{16\%} + \phi_{84\%} - 2 * \phi_{50\%}$ ) / (2 \* ( $\phi_{84\%} - \phi_{16\%}$ )) + ( $\phi_{5\%} + \phi_{95\%} - 2 * \phi_{50\%}$ ) / (2 \* ( $\phi_{95\%} - \phi_{5\%}$ )) (Folk and Ward 1957)

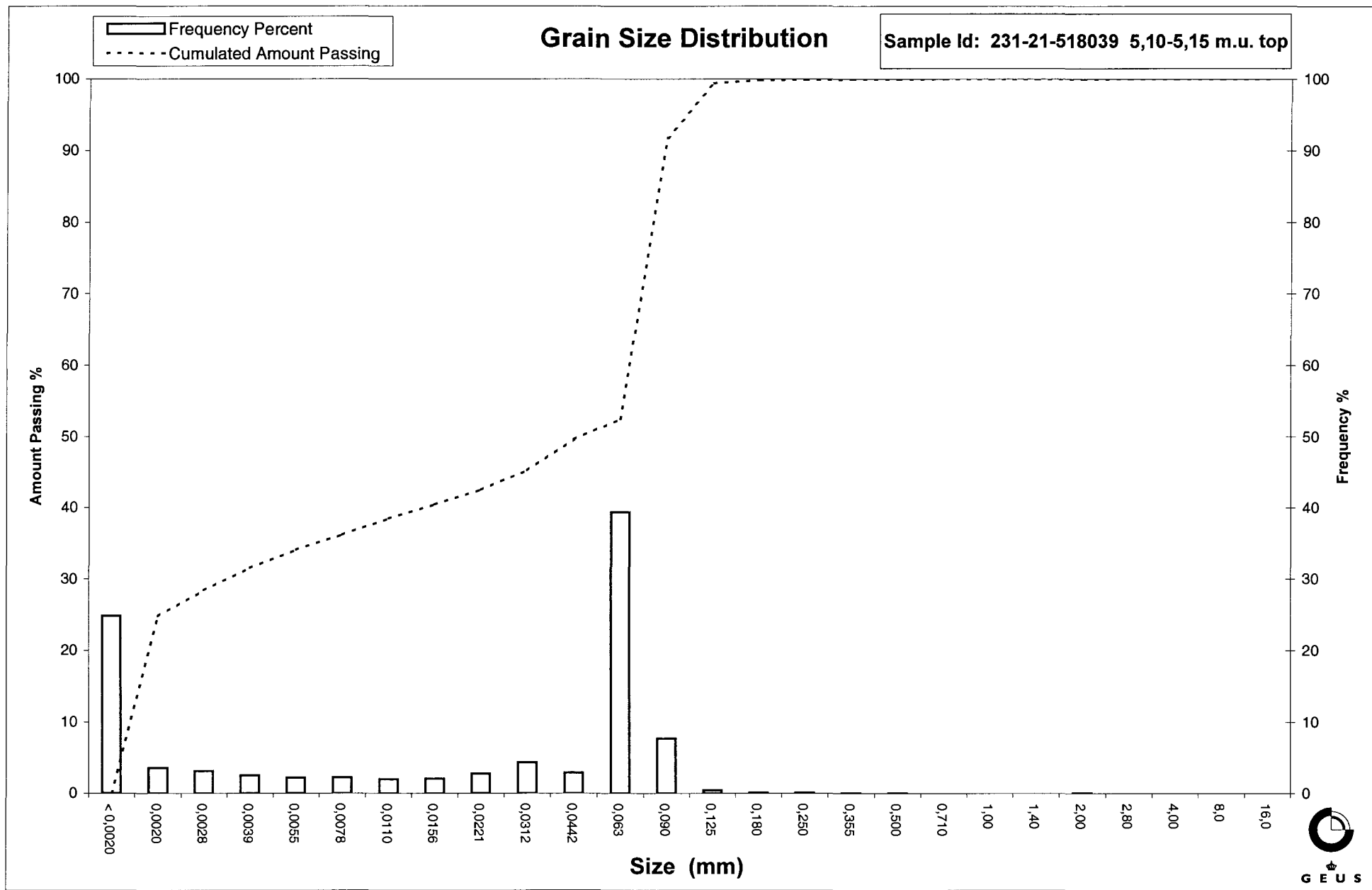
Uniformity Coefficient ( $d_{60\%} / d_{10\%}$ ) (dgf-Bulletin 1988)

Mean, sorting, skewness and kurtosis are based on "Amount in sieve". Uniformity coefficient is based on "Amount passing".

Thoravej 8, DK-2400 Copenhagen NW

Tel.: +45 38 14 20 00 Telefax: +45 38 14 20 50

Email: GEUS@neus.dk



# Grain Size Distribution

Geotechnical

**Sample Id:** 231-21-518040 1,18-1,28 m.u. top

**Lab. Id:** 20490

**Submitter:** Carl Bro

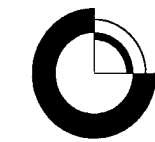
**Subject:** Grenå Sejlrende

**Date:** juli 2002

**Executed:** I. Nørgaard.

**Remarks:** For mat.< 2mm. Org.mat. ikke fjernet før sedigrafanal. For lille ler/siltfrakt. til pålidelig sedigrafanal.,

**Total Weight** 215,13 g



**G E U S**

## Size Fractions

Sieve Analysis

Gravel

Sand

Sedigraph Analysis

Silt

Clay

Size mm	Size $\Phi$	Weight g	Weight %	Cumulated amount passing %
16,00	-4,00	24,45	11,37	88,63
8,00	-3,00	7,26	3,37	85,26
4,00	-2,00	5,90	2,74	82,52
2,80	-1,49	2,29	1,06	81,45
2,00	-1,00	2,31	1,07	80,38
1,40	-0,49	2,79	1,30	79,08
1,00	0,00	5,60	2,60	76,48
0,710	0,49	12,35	5,74	70,74
0,500	1,00	24,78	11,52	59,22
0,355	1,49	41,67	19,37	39,85
0,250	2,00	56,16	26,11	13,75
0,180	2,47	20,60	9,58	4,17
0,125	3,00	3,25	1,51	2,66
0,090	3,47	0,65	0,30	2,36
0,063	3,99	0,48	0,22	2,13

## Size Classes (DGF-Bulletin 1 1988)

	Weight %
Clay	(< 0,002 mm): 0,85
Silt, fine	(0,002 mm - 0,006 mm): 0,65
Silt, medium	(0,006 mm - 0,020 mm): 0,40
Silt, coarse	(0,020 mm - 0,063 mm): 0,24
Sand, fine	(0,063 mm - 0,200 mm): 4,77
Sand, medium	(0,2 mm - 0,6 mm): 57,80
Sand, coarse	(0,6 mm - 2 mm): 15,67
Gravel	(> 2 mm): 19,62
Sum:	100,00

## Moments Measures

Percentile	Percentile	d(mm)	$\Phi$
Amount in sieve	Amount passing	-----	-----
5%	95%	-----	-----
16%	84%	6,16	-2,62
25%	75%	0,93	0,11
40%	60%	0,51	0,96
50%	50%	0,43	1,21
75%	25%	0,30	1,76
84%	16%	0,26	1,95
90%	10%	0,22	2,17
95%	5%	0,19	2,43

## Moments Statistics

Mean	0,18
Sorting	-----
Skewness	-----
Kurtosis	-----
Uniformity Coefficient	2,31

The analysis is executed according to DS 405.9 extended by sieves to the ½ phi scale

Size Classes and Percentiles are found by linear interpolation

## Formulas

Mean ( $\phi 16\% + \phi 84\% + \phi 50\% / 3$ ) (Folk and Ward 1957)

Sorting ( $\phi 84\% - \phi 16\% / 4 + (\phi 95\% - \phi 5\%) / 6,6$ ) (Folk and Ward 1957)

Kurtosis ( $\phi 95\% - \phi 5\% / (2,44 * (\phi 75\% - \phi 25\%))$ ) (Folk and Ward 1957)

Skewness ( $\phi 16\% + \phi 84\% - 2 * \phi 50\% / (2 * (\phi 84\% - \phi 16\%)) + (\phi 5\% + \phi 95\% - 2 * \phi 50\%) / (2 * (\phi 95\% - \phi 5\%))$ ) (Folk and Ward 1957)

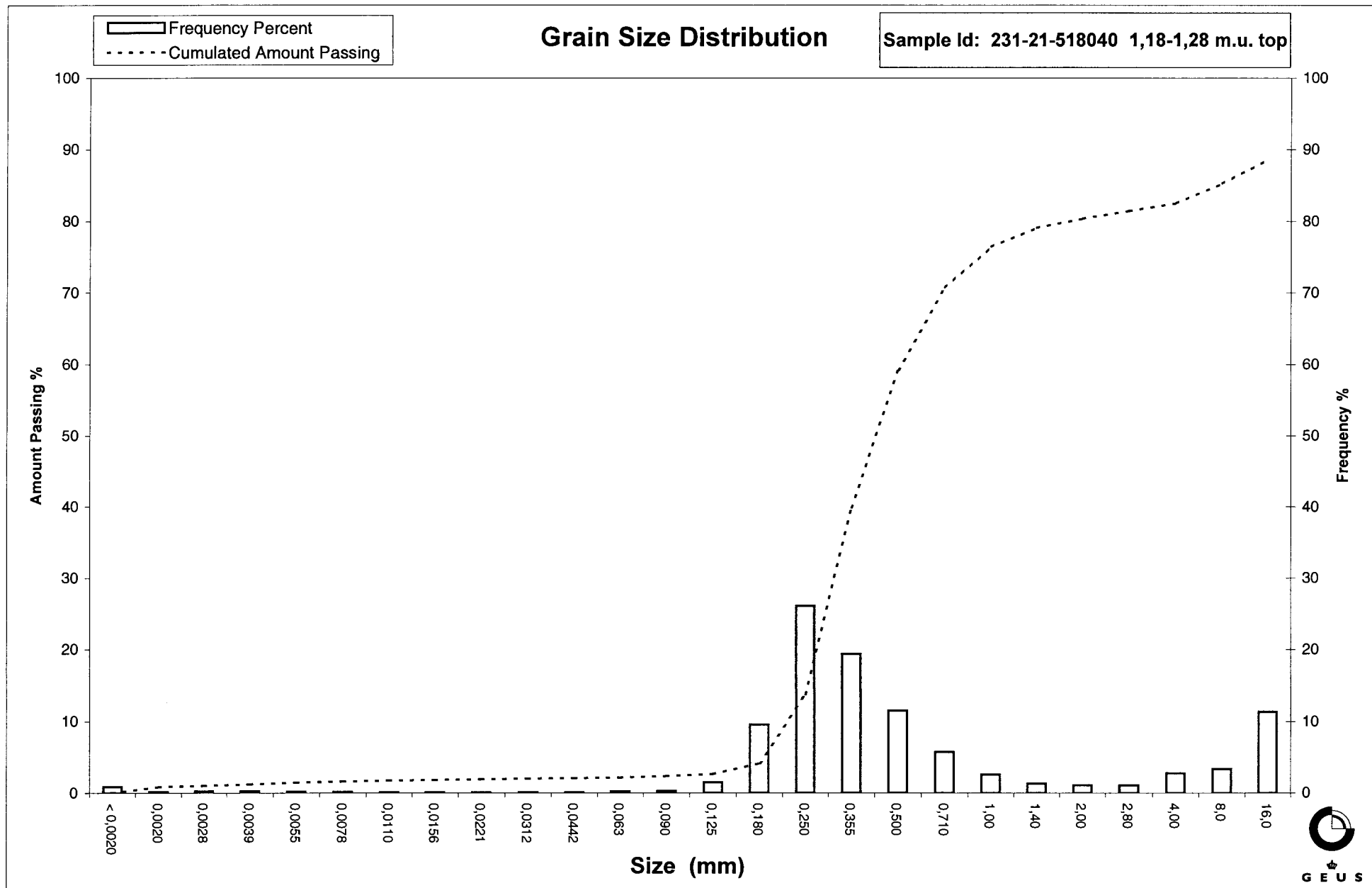
Uniformity Coefficient ( $d_{60\%} / d_{10\%}$ ) (dgf-Bulletin 1988)

Mean, sorting, skewness and kurtosis are based on "Amount in sieve". Uniformity coefficient is based on "Amount passing".

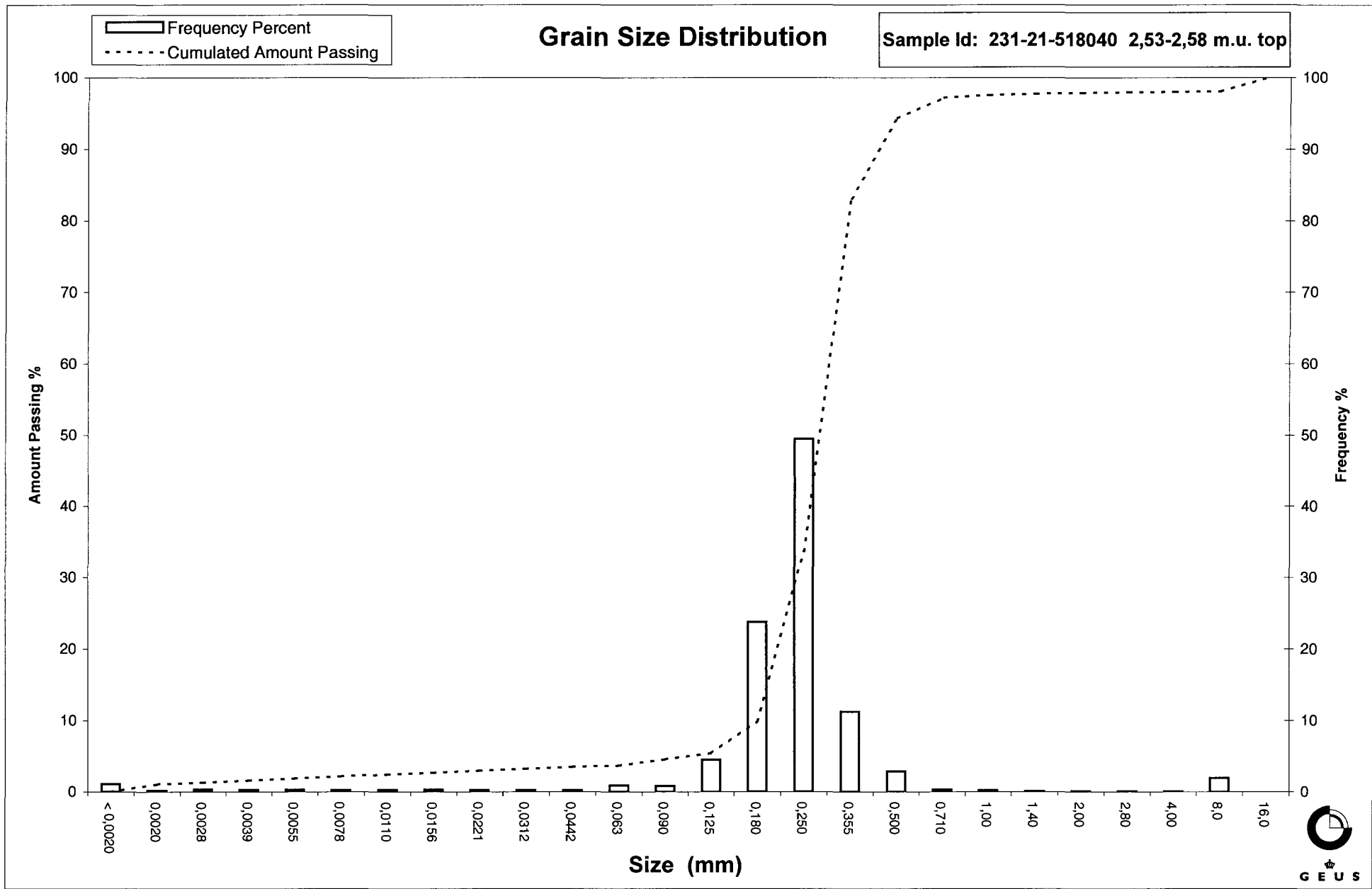
Thoravej 8, DK-2400 Copenhagen NW

Tel.: +45 38 14 20 00 Telefax: +45 38 14 20 50

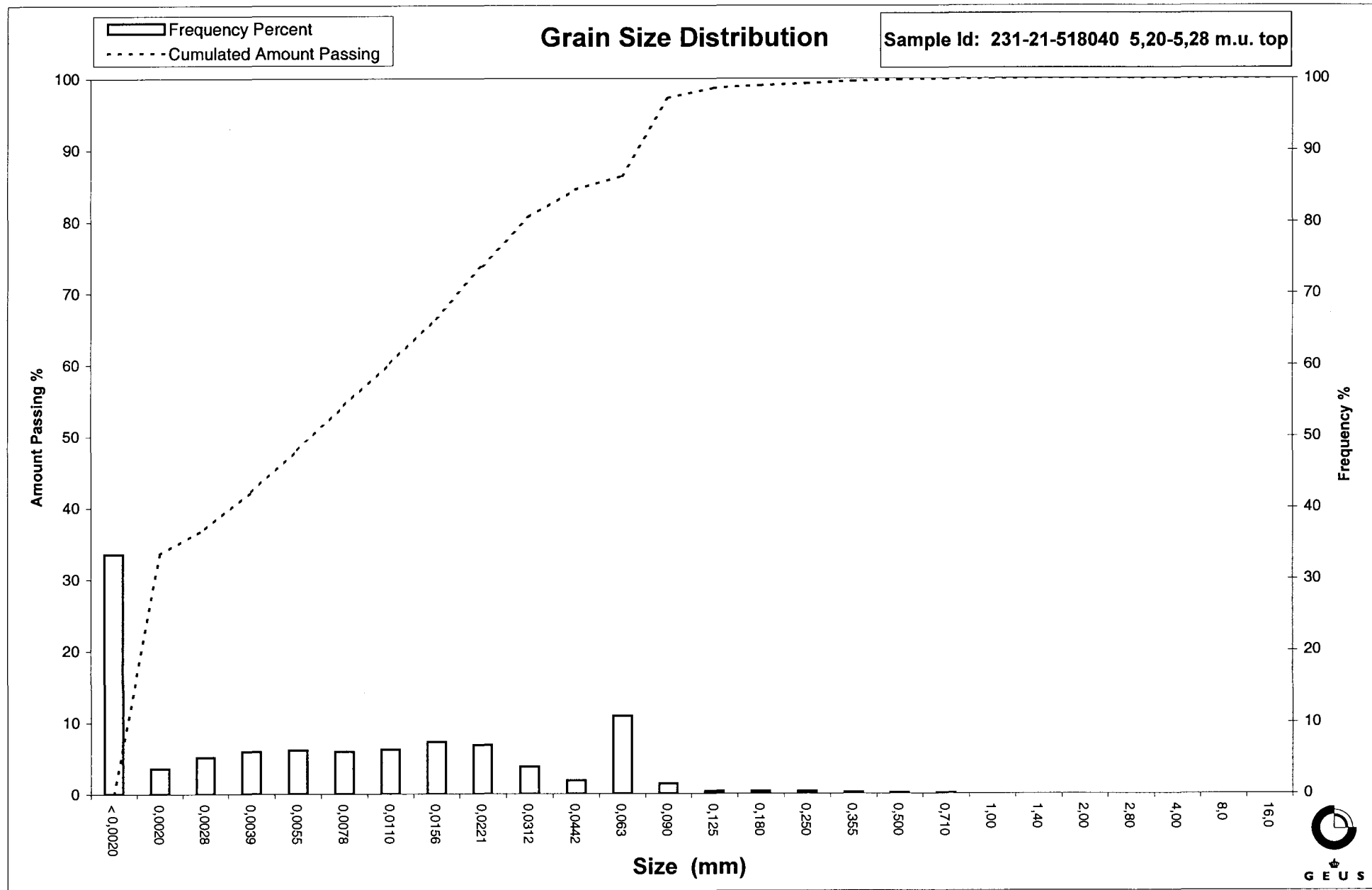
Email: GEUS@geus.dk



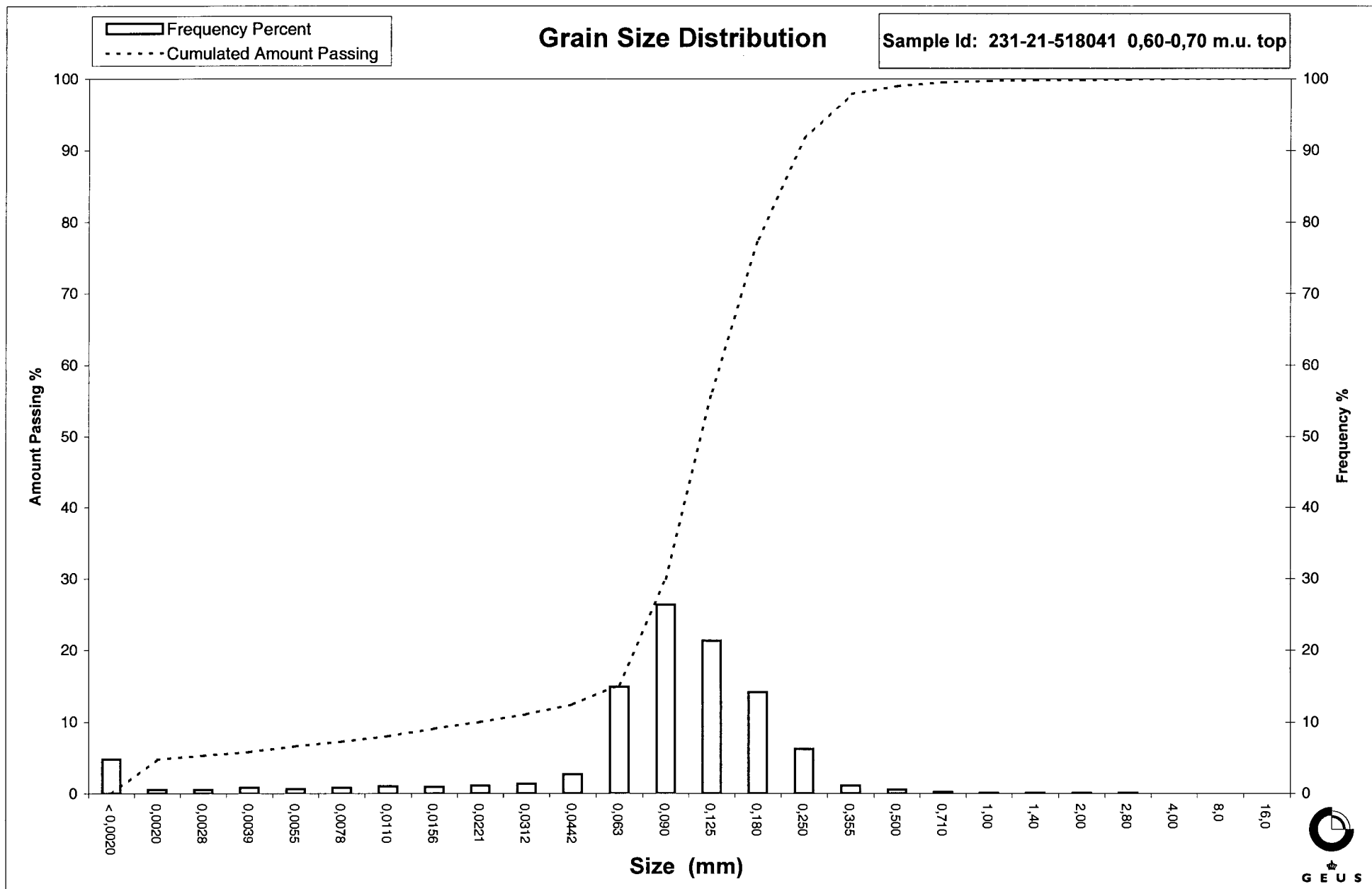




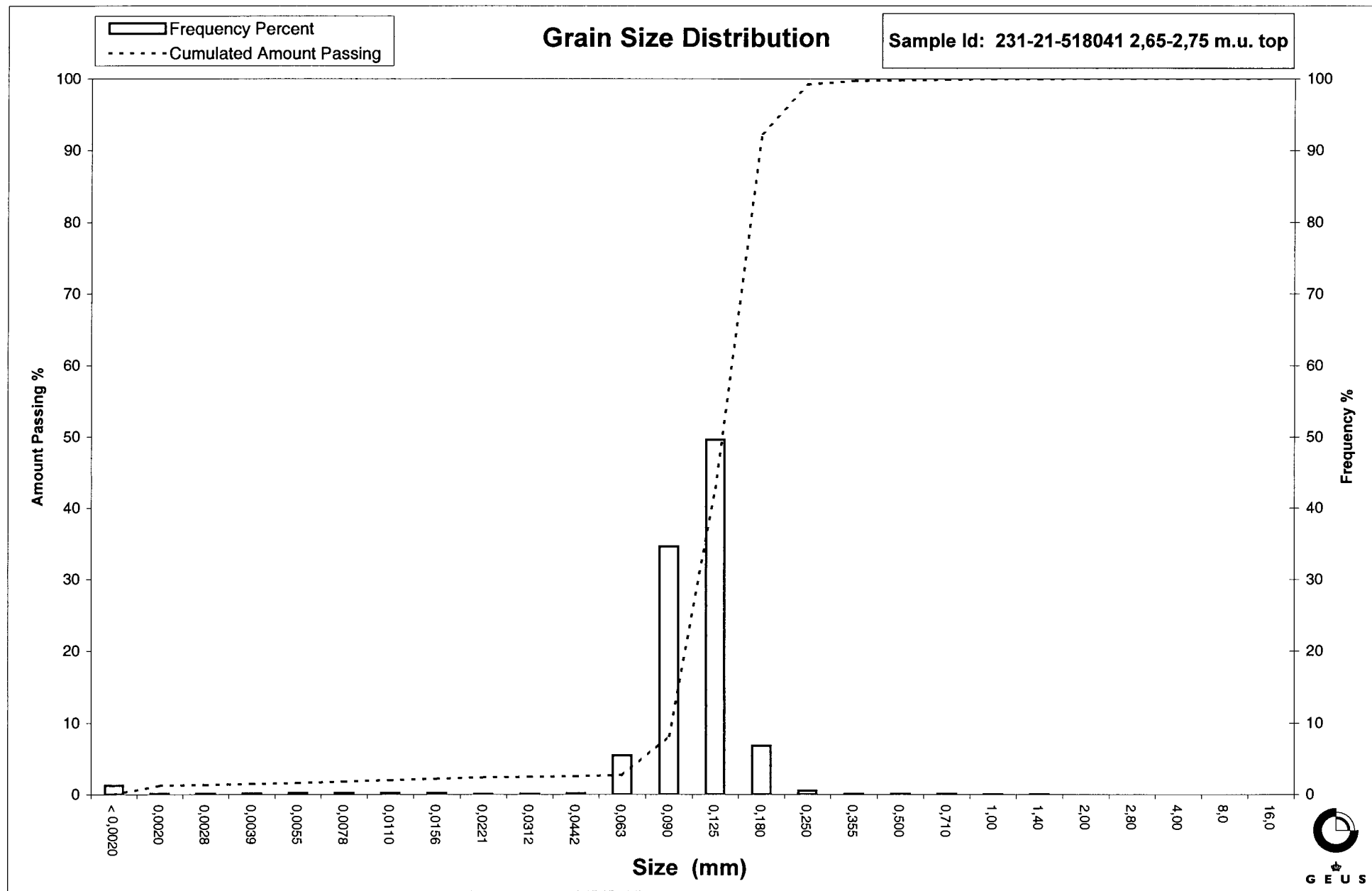




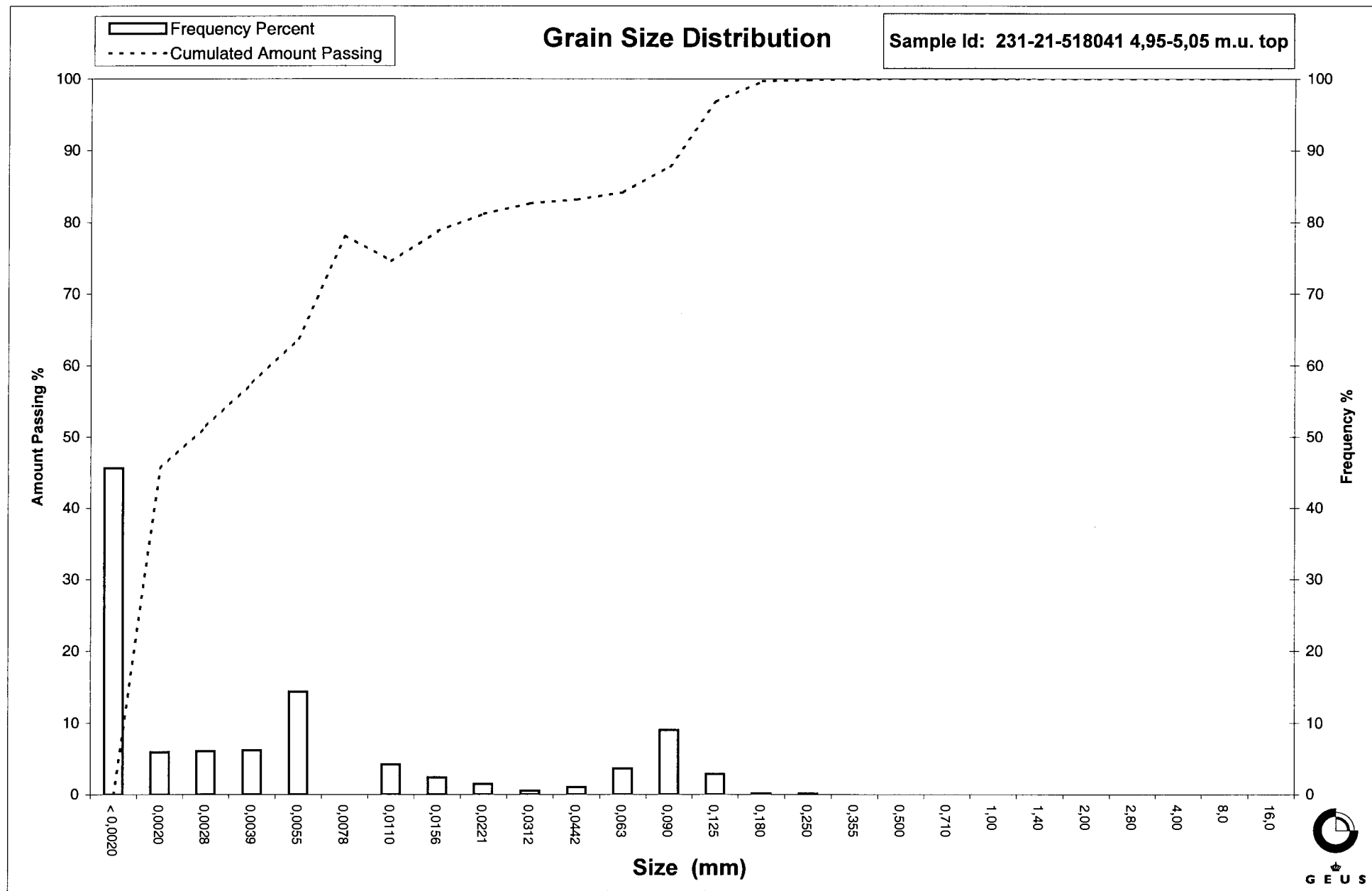








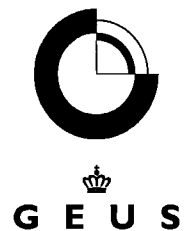




# Grain Size Distribution

Geotechnical

**Sample Id:** 231-21-518042 0,05-0,15m.u. top  
**Lab. Id:** 20496  
**Submitter:** Carl Bro  
**Subject:** Grenå Sejlrende  
**Date:** juli 2002  
**Executed:** I. Nørgaard.  
**Remarks:** For mat.< 2mm. Org.mat. ikke fjernet før sedigrafanal.



**Total Weight** 110,13 g

## Size Fractions

Sieve Analysis	
Gravel	
16,00	-4,00
8,00	-3,00
4,00	-2,00
2,80	-1,49
2,00	-1,00
1,40	-0,49
1,00	0,00
0,710	0,49
0,500	1,00
0,355	1,49
0,250	2,00
0,180	2,47
0,125	3,00
0,090	3,47
0,063	3,99
0,0442	4,50
0,0312	5,00
0,0221	5,50
0,0156	6,00
0,0110	6,51
0,0078	7,00
0,0055	7,51
0,0039	8,00
0,0028	8,48
0,0020	8,97
<0,0020	>8,97

Sedigraph Analysis	
Silt	
0,0442	0,60
0,0312	0,21
0,0221	0,14
0,0156	0,22
0,0110	0,29
0,0078	0,26
0,0055	0,25
0,0039	0,25
0,0028	0,24
0,0020	0,22
<0,0020	1,70

The analysis is executed according to DS 405.9 extended by sieves to the  $\frac{1}{2}$  phi scale

## Size Classes (DGF-Bulletin 1 1988)

		Weight %
Clay	(< 0,002 mm):	1,54
Silt, fine	(0,002 mm - 0,006 mm):	0,70
Silt, medium	(0,006 mm - 0,020 mm):	0,81
Silt, coarse	(0,020 mm - 0,063 mm):	0,92
Sand, fine	(0,063 mm - 0,200 mm):	31,11
Sand, medium	(0,2 mm - 0,6 mm):	49,89
Sand, coarse	(0,6 mm - 2 mm):	12,45
Gravel	(> 2 mm):	2,58
Sum:		100,00

## Moments Measures

Percentile	Percentile	d(mm)	$\Phi$
Amount in sieve	Amount passing		
5%	95%	1,27	-0,34
16%	84%	0,58	0,80
25%	75%	0,44	1,18
40%	60%	0,31	1,68
50%	50%	0,25	2,01
75%	25%	0,17	2,59
84%	16%	0,13	2,93
90%	10%	0,10	3,26
95%	5%	0,07	3,80

## Moments Statistics

Mean	1,91
Sorting	1,16
Skewness	-0,14
Kurtosis	1,20
Uniformity Coefficient	3,01

Size Classes and Percentiles are found by linear interpolation

## Formulas

Mean  $(\phi 16\% + \phi 84\% + \phi 50\%) / 3$  (Folk and Ward 1957)

Sorting  $(\phi 84\% - \phi 16\%) / 4 + (\phi 95\% - \phi 5\%) / 6,6$  (Folk and Ward 1957)

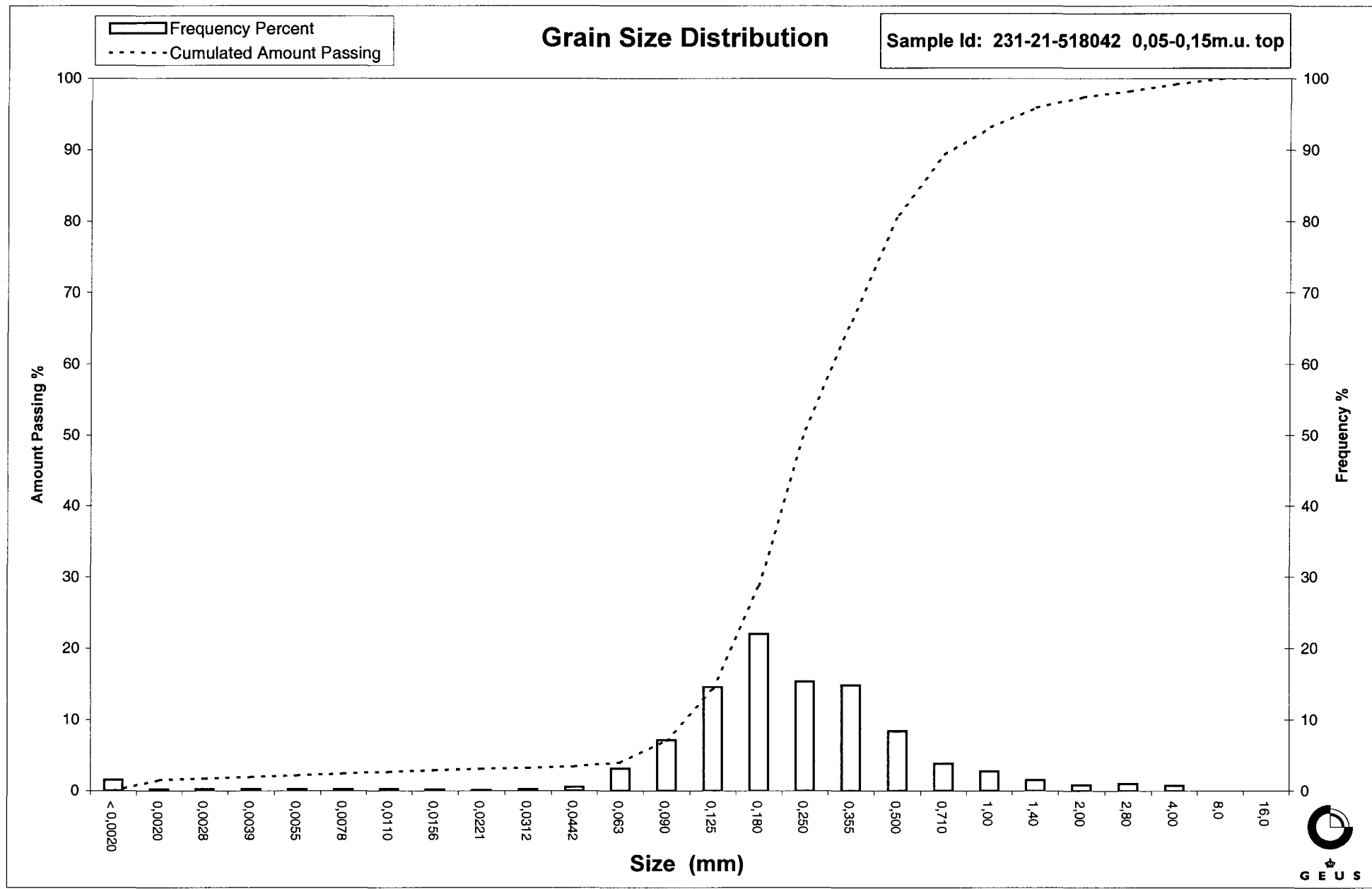
Kurtosis  $(\phi 95\% - \phi 5\%) / (2,44 * (\phi 75\% - \phi 25\%))$  (Folk and Ward 1957)

Skewness  $(\phi 16\% + \phi 84\% - 2 * \phi 50\%) / (2 * (\phi 84\% - \phi 16\%)) + (\phi 5\% + \phi 95\% - 2 * \phi 50\%) / (2 * (\phi 95\% - \phi 5\%))$  (Folk and Ward 1957)

Uniformity Coefficient  $(d60\% / d10\%)$  (dgf-Bulletin 1988)

Mean, sorting, skewness and kurtosis are based on "Amount in sieve". Uniformity coefficient is based on "Amount passing".

Thoravej 8, DK-2400 Copenhagen NW  
 Tel.: +45 38 14 20 00 Telefax: +45 38 14 20 50  
 Email: GEUS@geus.dk



# Grain Size Distribution

Geotechnical

**Sample Id:** 231-21-518042 1,45-1,55 m.u. top

**Lab. Id:** 20497

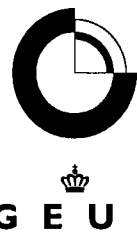
**Submitter:** Carl Bro

**Subject:** Grenå Sejlrende

**Date:** juli 2002

**Executed:** I. Nørgaard.

**Remarks:** For mat.< 2mm. Org.mat. ikke fjernet før sedigrafanal.



**Total Weight** 155,32 g

## Size Fractions

Sieve Analysis  
Gravel  
Sand  
Sedigraph Analysis  
Silt  
Clay

Size mm	Size $\Phi$	Weight g	Weight %	Cumulated amount passing %
16,00	-4,00	0,00	0,00	100,00
8,00	-3,00	0,00	0,00	100,00
4,00	-2,00	0,00	0,00	100,00
2,80	-1,49	0,00	0,00	100,00
2,00	-1,00	0,00	0,00	100,00
1,40	-0,49	0,00	0,00	100,00
1,00	0,00	0,02	0,01	99,99
0,710	0,49	0,03	0,02	99,97
0,500	1,00	0,07	0,05	99,92
0,355	1,49	0,11	0,07	99,85
0,250	2,00	0,31	0,20	99,65
0,180	2,47	1,09	0,70	98,95
0,125	3,00	5,90	3,80	95,15
0,090	3,47	12,83	8,26	86,89
0,063	3,99	17,86	11,50	75,39
0,0442	4,50	7,76	4,99	70,40
0,0312	5,00	7,39	4,76	65,64
0,0221	5,50	5,79	3,73	61,92
0,0156	6,00	6,40	4,12	57,79
0,0110	6,51	5,17	3,33	54,46
0,0078	7,00	6,03	3,88	50,58
0,0055	7,51	6,16	3,96	46,62
0,0039	8,00	5,91	3,81	42,81
0,0028	8,48	6,90	4,44	38,37
0,0020	8,97	7,39	4,76	33,61
<0,0020	>8,97	52,21	33,61	0,00

The analysis is executed according to DS 405.9 extended by sieves to the ½ phi scale

## Size Classes (DGF-Bulletin 1 1988)

		Weight %
Clay	(< 0,002 mm)	33,61
Silt, fine	(0,002 mm - 0,006 mm)	13,86
Silt, medium	(0,006 mm - 0,020 mm)	13,11
Silt, coarse	(0,020 mm - 0,063 mm)	14,81
Sand, fine	(0,063 mm - 0,200 mm)	23,76
Sand, medium	(0,2 mm - 0,6 mm)	0,79
Sand, coarse	(0,6 mm - 2 mm)	0,06
Gravel	(> 2 mm)	0,00
Sum:		100,00

## Moments Measures

Percentile	Percentile	
Amount in sieve	Amount passing	d(mm) $\Phi$
5%	95%	0,12 3,01
16%	84%	0,08 3,59
25%	75%	0,06 4,02
40%	60%	0,02 5,71
50%	50%	0,01 7,07
75%	25%	##### -----
84%	16%	##### -----
90%	10%	##### -----
95%	5%	##### -----

## Moments Statistics

Mean	5,33
Sorting	-----
Skewness	-----
Kurtosis	-----
Uniformity Coefficient	-----

Size Classes and Percentiles are found by linear interpolation

## Formulas

Mean ( $\phi_{16\%} + \phi_{84\%} + \phi_{50\%}$ ) / 3 (Folk and Ward 1957)

Sorting ( $\phi_{84\%} - \phi_{16\%}$ ) / 4 + ( $\phi_{95\%} - \phi_{5\%}$ ) / 6,6 (Folk and Ward 1957)

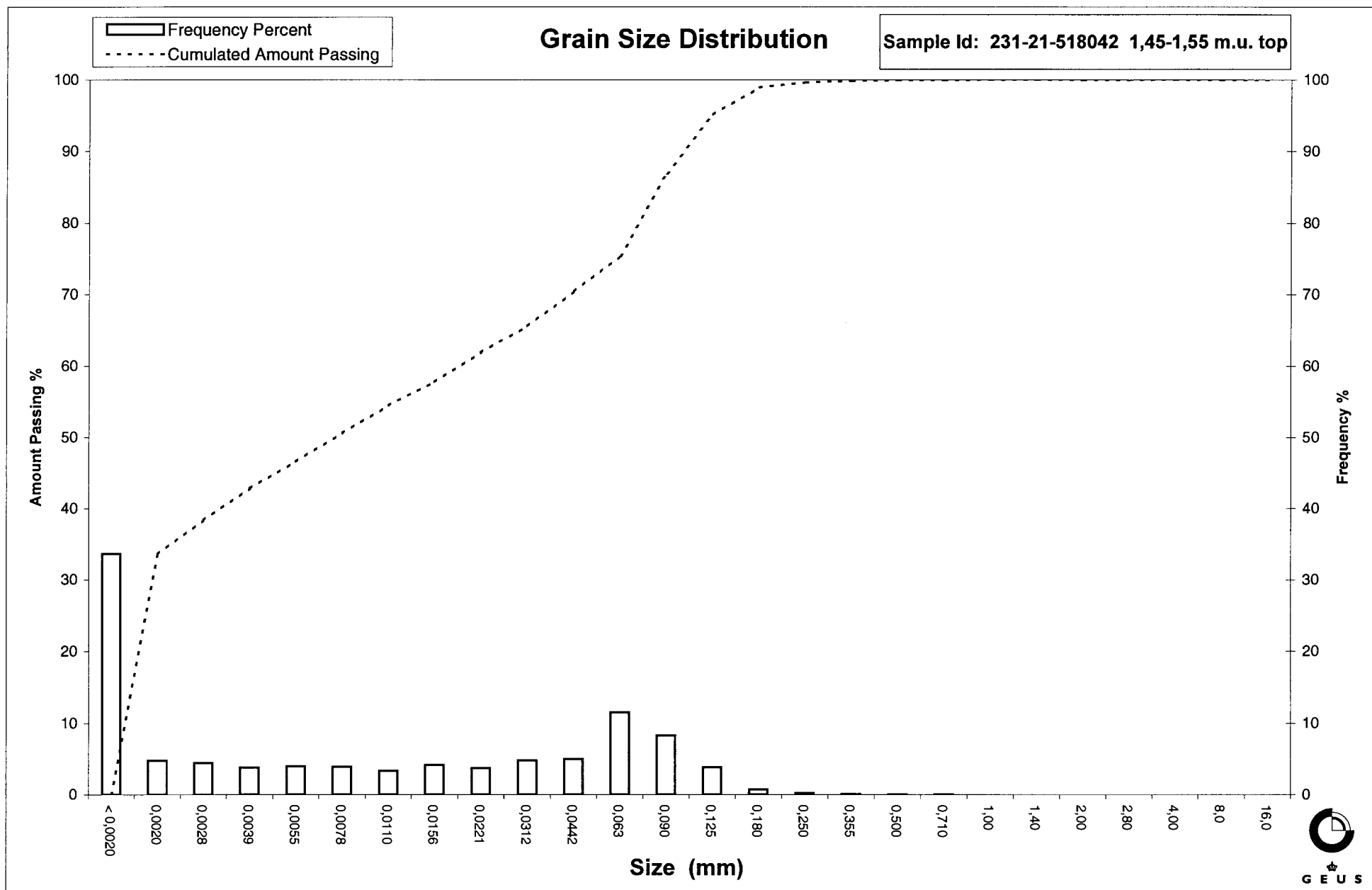
Kurtosis ( $\phi_{95\%} - \phi_{5\%}$ ) / (2,44 \* ( $\phi_{75\%} - \phi_{25\%}$ )) (Folk and Ward 1957)

Skewness ( $\phi_{16\%} + \phi_{84\%} - 2 * \phi_{50\%}$ ) / (2 \* ( $\phi_{84\%} - \phi_{16\%}$ )) + ( $\phi_{5\%} + \phi_{95\%} - 2 * \phi_{50\%}$ ) / (2 \* ( $\phi_{95\%} - \phi_{5\%}$ )) (Folk and Ward 1957)

Uniformity Coefficient (d60% / d10%) (dgf-Bulletin 1988)

Mean, sorting, skewness and kurtosis are based on "Amount in sieve". Uniformity coefficient is based on "Amount passing".

Thoravej 8, DK-2400 Copenhagen NW  
Tel.: +45 38 14 20 00 Telefax: +45 38 14 20 50  
Email: GEUS@geus.dk



# Grain Size Distribution

Geotechnical

**Sample Id:** 231-21-518042 4,60-4,70 m.u. top  
**Lab. Id:** 20498  
**Submitter:** Carl Bro  
**Subject:** Grenå Sejlrende  
**Date:** juli 2002  
**Executed:** I. Nørgaard.  
**Remarks:** For mat.< 2mm. Org.mat. ikke fjernet før sedigrafanal.



**Total Weight** 119,58 g

## Size Fractions

Size	Size	Weight	Weight	Cumulated amount passing
mm	$\Phi$	g	%	%
16,00	-4,00	0,00	0,00	100,00
8,00	-3,00	0,00	0,00	100,00
4,00	-2,00	0,00	0,00	100,00
2,80	-1,49	0,00	0,00	100,00
2,00	-1,00	0,00	0,00	100,00
1,40	-0,49	0,00	0,00	100,00
1,00	0,00	0,06	0,05	99,95
0,710	0,49	0,12	0,10	99,85
0,500	1,00	0,24	0,20	99,65
0,355	1,49	0,26	0,22	99,43
0,250	2,00	0,94	0,79	98,65
0,180	2,47	4,56	3,81	94,83
0,125	3,00	18,36	15,35	79,48
0,090	3,47	21,94	18,35	61,13
0,063	3,99	19,94	16,68	44,46
0,0442	4,50	5,60	4,68	39,77
0,0312	5,00	6,12	5,11	34,66
0,0221	5,50	4,17	3,49	31,17
0,0156	6,00	3,32	2,77	28,39
0,0110	6,51	2,80	2,34	26,05
0,0078	7,00	2,11	1,77	24,28
0,0055	7,51	2,06	1,72	22,56
0,0039	8,00	2,06	1,72	20,84
0,0028	8,48	2,40	2,01	18,83
0,0020	8,97	2,29	1,91	16,92
<0,0020	>8,97	20,24	16,92	0,00

Gravel

Sand

Sedigraph Analysis

Silt

Clay

The analysis is executed according to DS 405.9 extended by sieves to the  $\frac{1}{2}$  phi scale

## Size Classes (DGF-Bulletin 1 1988)

	Weight %
Clay	(< 0,002 mm): 16,92
Silt, fine	(0,002 mm - 0,006 mm): 6,01
Silt, medium	(0,006 mm - 0,020 mm): 7,33
Silt, coarse	(0,020 mm - 0,063 mm): 14,18
Sand, fine	(0,063 mm - 0,200 mm): 51,47
Sand, medium	(0,2 mm - 0,6 mm): 3,82
Sand, coarse	(0,6 mm - 2 mm): 0,26
Gravel	(> 2 mm): 0,00
Sum:	100,00

## Moments Measures

Percentile	Percentile	d(mm)	$\Phi$
Amount in sieve	Amount passing		
5%	95%	0,18	2,45
16%	84%	0,14	2,82
25%	75%	0,12	3,10
40%	60%	0,09	3,50
50%	50%	0,07	3,80
75%	25%	0,01	6,78
84%	16%	#####	-----
90%	10%	#####	-----
95%	5%	#####	-----

## Moments Statistics

Mean	3,31
Sorting	-----
Skewness	-----
Kurtosis	-----
Uniformity Coefficient	-----

Size Classes and Percentiles are found by linear interpolation

## Formulas

Mean ( $\phi 16\% + \phi 84\% + \phi 50\% / 3$ ) (Folk and Ward 1957)

Sorting ( $\phi 84\% - \phi 16\% / 4 + (\phi 95\% - \phi 5\% / 6,6$ ) (Folk and Ward 1957)

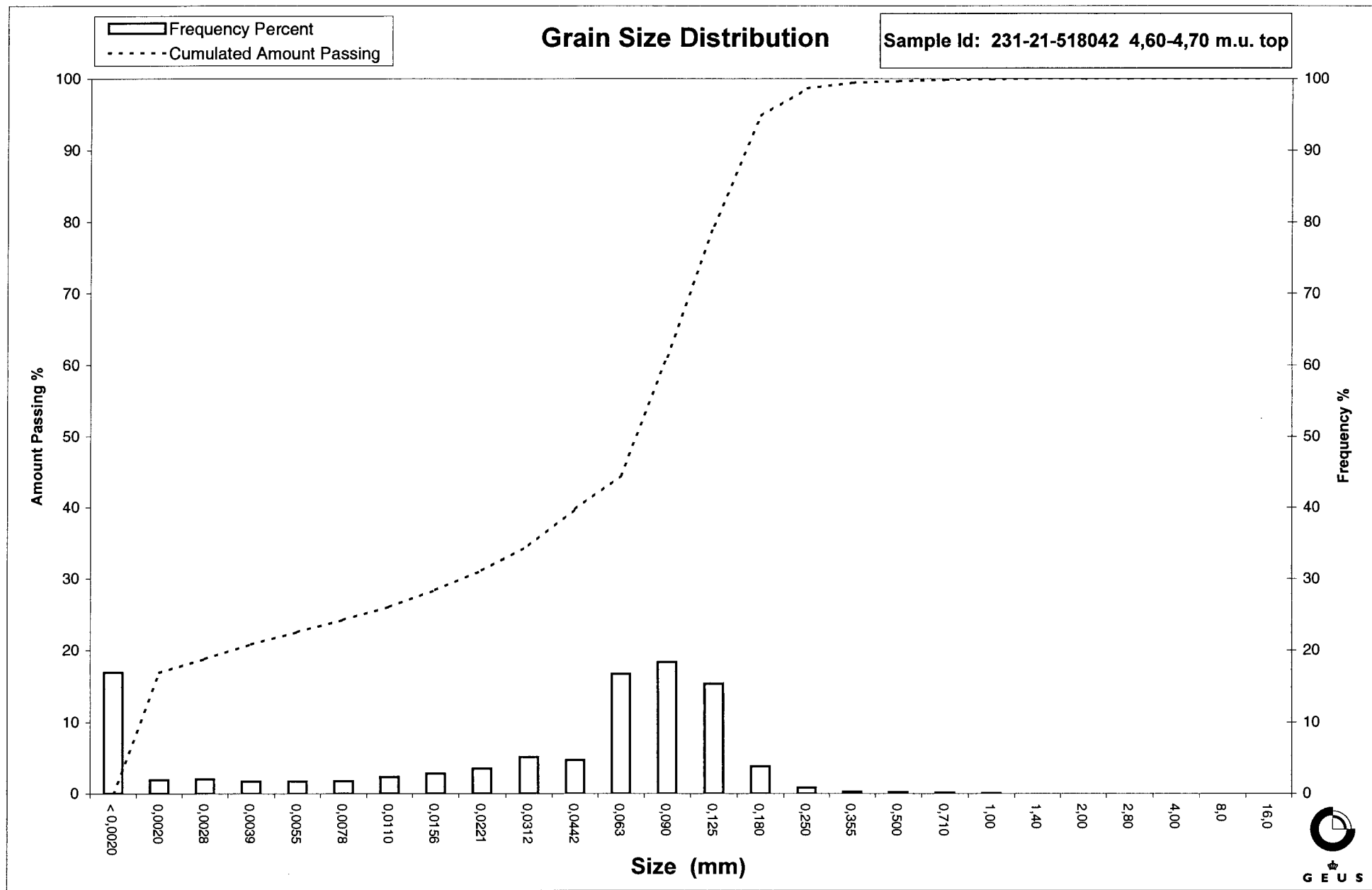
Kurtosis ( $\phi 95\% - \phi 5\% / (2,44 * (\phi 75\% - \phi 25\%))$ ) (Folk and Ward 1957)

Skewness ( $\phi 16\% + \phi 84\% - 2 * \phi 50\% / (2 * (\phi 84\% - \phi 16\%)) + (\phi 5\% + \phi 95\% - 2 * \phi 50\% / (2 * (\phi 95\% - \phi 5\%))$ ) (Folk and Ward 1957)

Uniformity Coefficient ( $d60\% / d10\%$ ) (dgf-Bulletin 1988)

Mean, sorting, skewness and kurtosis are based on "Amount in sieve". Uniformity coefficient is based on "Amount passing".

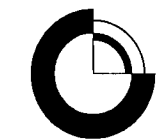
Thoravej 8, DK-2400 Copenhagen NW  
 Tel.: +45 38 14 20 00 Telefax: +45 38 14 20 50  
 Email: [GEUS@geus.dk](mailto:GEUS@geus.dk)



# Grain Size Distribution

Geotechnical

**Sample Id:** 231-21-5180043 0,50-0,60 m.u. top  
**Lab. Id:** 20499  
**Submitter:** Carl Bro  
**Subject:** Grenå Sejlrende  
**Date:** juli 2002  
**Executed:** I. Nørgaard.  
**Remarks:** For mat.< 2mm. Org.mat. ikke fjernet før sedigrafanal.



G E U S

**Total Weight** 123,62 g

## Size Fractions

### Sieve Analysis

Size	Size	Weight	Weight	Cumulated amount passing	
				mm	Φ
16,00	-4,00	0,00	0,00	100,00	
8,00	-3,00	0,00	0,00	100,00	
4,00	-2,00	0,00	0,00	100,00	
2,80	-1,49	0,00	0,00	100,00	
2,00	-1,00	0,05	0,04	99,96	
1,40	-0,49	0,06	0,05	99,91	
1,00	0,00	0,08	0,06	99,85	
0,710	0,49	0,12	0,10	99,75	
0,500	1,00	0,28	0,23	99,52	
0,355	1,49	0,50	0,40	99,12	
0,250	2,00	1,09	0,88	98,24	
0,180	2,47	1,46	1,18	97,06	
0,125	3,00	6,76	5,47	91,59	
0,090	3,47	11,83	9,57	82,02	
0,063	3,99	9,25	7,48	74,53	
0,0442	4,50	2,06	1,67	72,87	
0,0312	5,00	2,90	2,35	70,52	
0,0221	5,50	2,90	2,35	68,17	
0,0156	6,00	3,18	2,58	65,60	
0,0110	6,51	3,75	3,03	62,57	
0,0078	7,00	4,68	3,79	58,78	
0,0055	7,51	4,68	3,79	54,99	
0,0039	8,00	5,06	4,09	50,90	
0,0028	8,48	5,24	4,24	46,66	
0,0020	8,97	5,99	4,85	41,81	
<0,0020	>8,97	51,69	41,81	0,00	

### Sedigraph Analysis

### Sedigraph Analysis

The analysis is executed according to DS 405.9 extended by sieves to the ½ phi scale

## Size Classes (DGF-Bulletin 1 1988)

		Weight %
Clay	(< 0,002 mm):	41,81
Silt, fine	(0,002 mm - 0,006 mm):	14,00
Silt, medium	(0,006 mm - 0,020 mm):	11,52
Silt, coarse	(0,020 mm - 0,063 mm):	7,19
Sand, fine	(0,063 mm - 0,200 mm):	22,86
Sand, medium	(0,2 mm - 0,6 mm):	2,24
Sand, coarse	(0,6 mm - 2 mm):	0,33
Gravel	(> 2 mm):	0,04
Sum:		100,00

## Moments Measures

Percentile	Percentile		
Amount in sieve	Amount passing	d(mm)	Φ
5%	95%	0,16	2,65
16%	84%	0,10	3,36
25%	75%	0,06	3,95
40%	60%	0,01	6,82
50%	50%	0,00	8,09
75%	25%	#####	-----
84%	16%	#####	-----
90%	10%	#####	-----
95%	5%	#####	-----

## Moments Statistics

Mean	5,73
Sorting	-----
Skewness	-----
Kurtosis	-----
Uniformity Coefficient	-----

Size Classes and Percentiles are found by linear interpolation

## Formulas

Mean ( $\phi 16\% + \phi 84\% + \phi 50\% / 3$ ) (Folk and Ward 1957)

Sorting ( $\phi 84\% - \phi 16\% / 4 + (\phi 95\% - \phi 5\% / 6,6$ ) (Folk and Ward 1957)

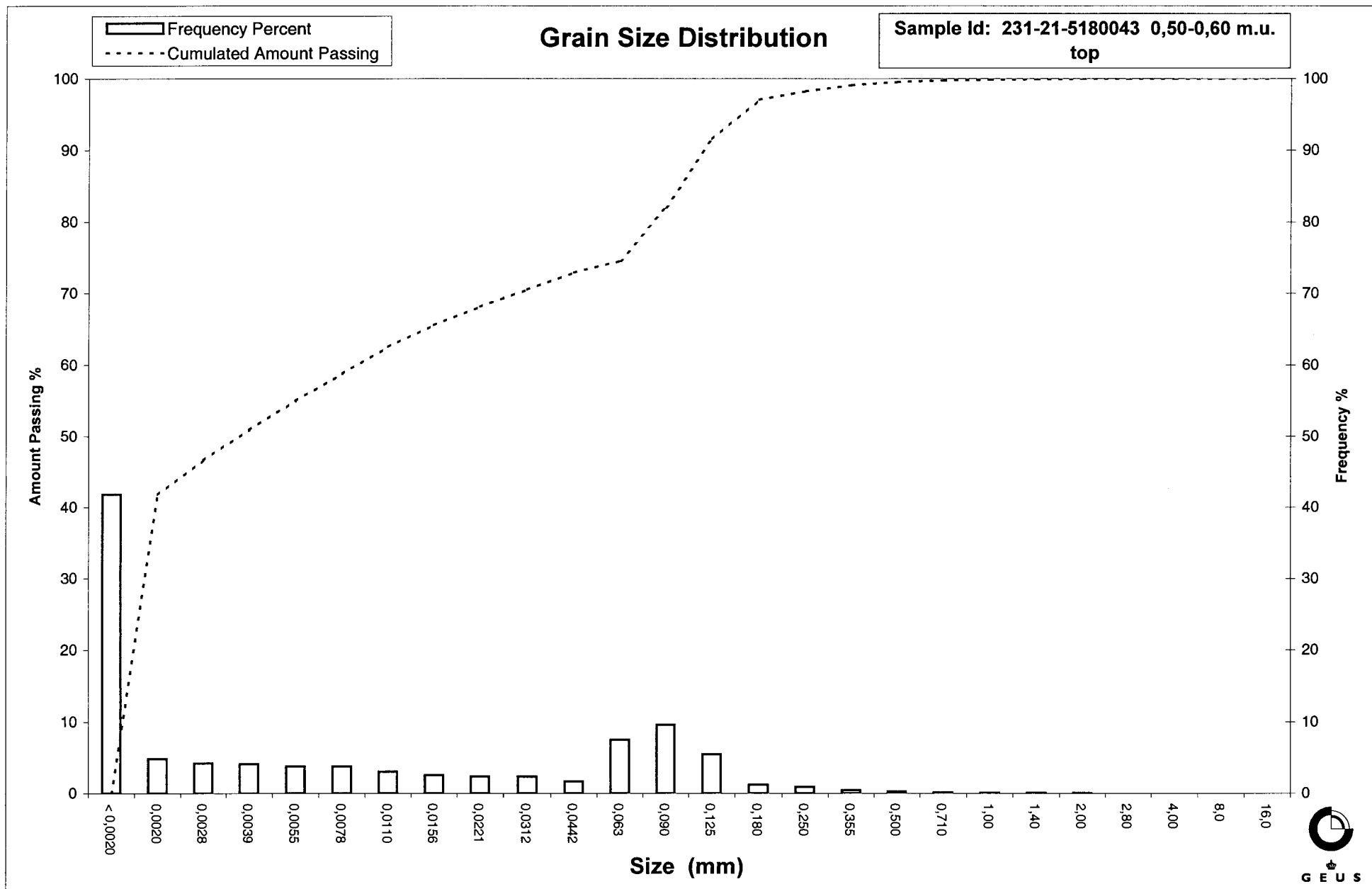
Kurtosis ( $\phi 95\% - \phi 5\% / (2,44 * (\phi 75\% - \phi 25\%))$  (Folk and Ward 1957)

Skewness ( $(\phi 16\% + \phi 84\% - 2 * \phi 50\% / (2 * (\phi 84\% - \phi 16\%)) + (\phi 5\% + \phi 95\% - 2 * \phi 50\% / (2 * (\phi 95\% - \phi 5\%))$  (Folk and Ward 1957)

Uniformity Coefficient ( $d60\% / d10\%$ ) (dgf-Bulletin 1988)

Mean, sorting, skewness and kurtosis are based on "Amount in sieve". Uniformity coefficient is based on "Amount passing".

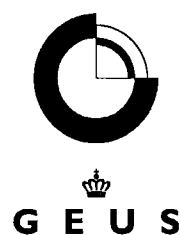
Thoravej 8, DK-2400 Copenhagen NW  
 Tel.: +45 38 14 20 00 Telefax: +45 38 14 20 50  
 Email: GEUS@neus.dk



# Grain Size Distribution

Geotechnical

**Sample Id:** 231-21-5180043 2,20-2,30 m.u. top  
**Lab. Id:** 20500  
**Submitter:** Carl Bro  
**Subject:** Grenå Sejlrende  
**Date:** juli 2002  
**Executed:** I. Nørgaard.  
**Remarks:** For mat. < 2mm. Org.mat. ikke fjernet før sedigrafanal.



**Total Weight** 155,57 g

## Size Fractions

Sieve Analysis			
Gravel	Sand	Silt	Clay

Size mm	Size $\Phi$	Weight g	Weight %	Cumulated amount passing %
16,00	-4,00	0,00	0,00	100,00
8,00	-3,00	0,00	0,00	100,00
4,00	-2,00	0,10	0,06	99,94
2,80	-1,49	0,13	0,08	99,85
2,00	-1,00	0,17	0,11	99,74
1,40	-0,49	0,11	0,07	99,67
1,00	0,00	0,13	0,08	99,59
0,710	0,49	0,16	0,10	99,49
0,500	1,00	0,41	0,26	99,22
0,355	1,49	0,74	0,48	98,75
0,250	2,00	1,80	1,16	97,59
0,180	2,47	2,80	1,80	95,79
0,125	3,00	3,48	2,24	93,55
0,090	3,47	5,78	3,72	89,84
0,063	3,99	10,95	7,04	82,80
0,0442	4,50	2,23	1,43	81,37
0,0312	5,00	3,41	2,19	79,18
0,0221	5,50	3,14	2,02	77,16
0,0156	6,00	3,67	2,36	74,80
0,0110	6,51	4,98	3,20	71,60
0,0078	7,00	5,50	3,54	68,06
0,0055	7,51	6,81	4,38	63,68
0,0039	8,00	7,34	4,72	58,96
0,0028	8,48	8,78	5,64	53,32
0,0020	8,97	9,57	6,15	47,17
<0,0020	>8,97	73,38	47,17	0,00

The analysis is executed according to DS 405.9 extended by sieves to the  $\frac{1}{2}$  phi scale

## Size Classes (DGF-Bulletin 1 1988)

		Weight %
Clay	(< 0,002 mm):	47,17
Silt, fine	(0,002 mm - 0,006 mm):	17,46
Silt, medium	(0,006 mm - 0,020 mm):	11,76
Silt, coarse	(0,020 mm - 0,063 mm):	6,41
Sand, fine	(0,063 mm - 0,200 mm):	13,51
Sand, medium	(0,2 mm - 0,6 mm):	3,04
Sand, coarse	(0,6 mm - 2 mm):	0,40
Gravel	(> 2 mm):	0,26
Sum:		100,00

## Moments Measures

Percentile Amount in sieve	Percentile Amount passing	d(mm)	$\Phi$
5%	95%	0,16	2,64
16%	84%	0,07	3,89
25%	75%	0,02	5,95
40%	60%	0,00	7,88
50%	50%	0,00	8,72
75%	25%	#####	-----
84%	16%	#####	-----
90%	10%	#####	-----
95%	5%	#####	-----

## Moments Statistics

Mean	6,30
Sorting	-----
Skewness	-----
Kurtosis	-----
Uniformity Coefficient	-----

Size Classes and Percentiles are found by linear interpolation

## Formulas

Mean  $(\phi_{16\%} + \phi_{84\%} + \phi_{50\%}) / 3$  (Folk and Ward 1957)

Sorting  $(\phi_{84\%} - \phi_{16\%}) / 4 + (\phi_{95\%} - \phi_{5\%}) / 6,6$  (Folk and Ward 1957)

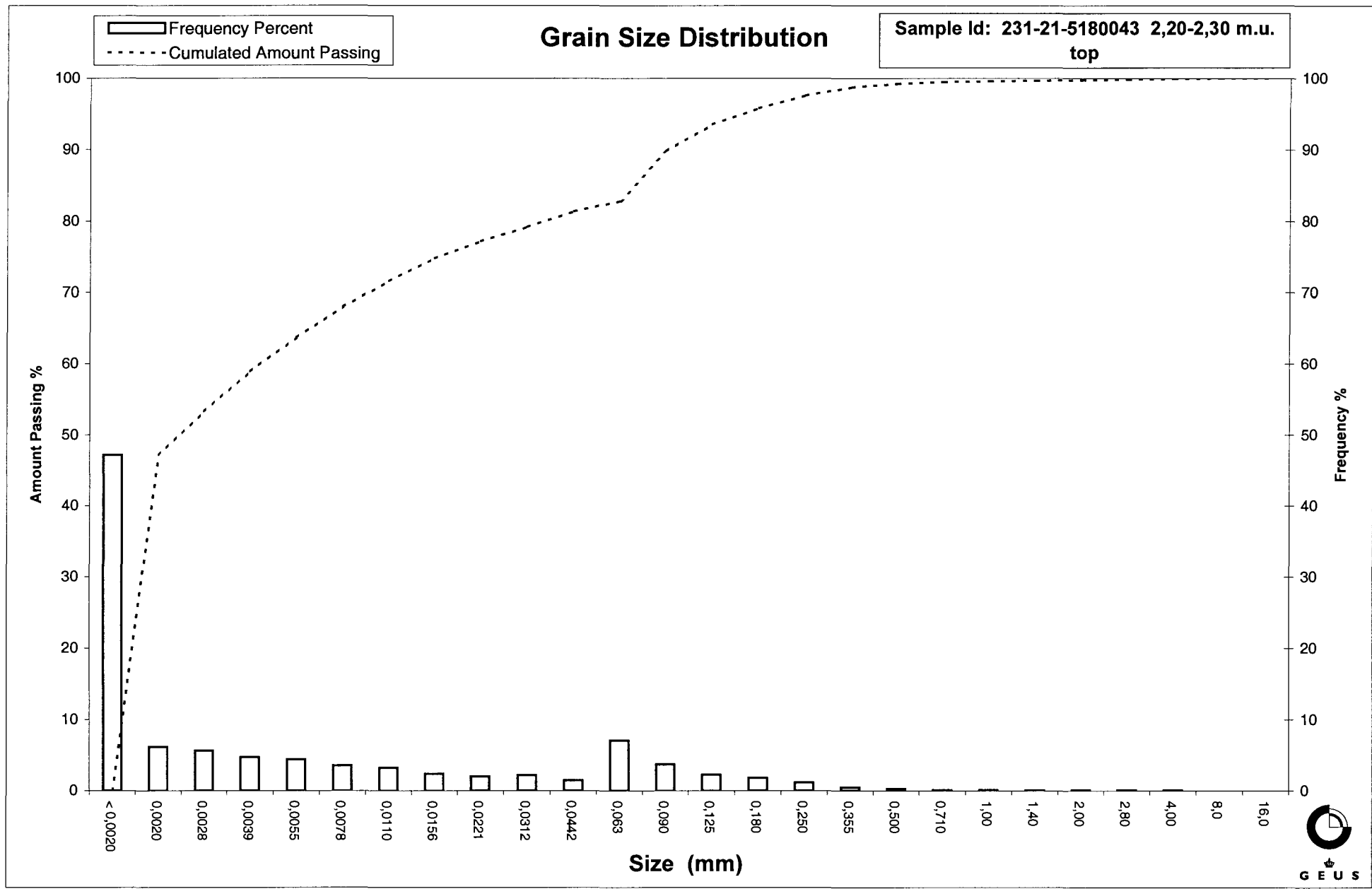
Kurtosis  $(\phi_{95\%} - \phi_{5\%}) / (2,44 * (\phi_{75\%} - \phi_{25\%}))$  (Folk and Ward 1957)

Skewness  $(\phi_{16\%} + \phi_{84\%} - 2 * \phi_{50\%}) / (2 * (\phi_{84\%} - \phi_{16\%})) + (\phi_{5\%} + \phi_{95\%} - 2 * \phi_{50\%}) / (2 * (\phi_{95\%} - \phi_{5\%}))$  (Folk and Ward 1957)

Uniformity Coefficient  $(d_{60\%} / d_{10\%})$  (dgr-Bulletin 1988)

Mean, sorting, skewness and kurtosis are based on "Amount in sieve". Uniformity coefficient is based on "Amount passing".

Thoravej 8, DK-2400 Copenhagen NW  
 Tel.: +45 38 14 20 00 Telefax: +45 38 14 20 50  
 Email: GEUS@neus.dk



# Grain Size Distribution

Geotechnical

**Sample Id:** 231-21-5180043 4,90-5,00 m.u. top  
**Lab. Id:** 20501  
**Submitter:** Carl Bro  
**Subject:** Grenå Sejlrende  
**Date:** juli 2002  
**Executed:** I. Nørgaard.  
**Remarks:** For mat.< 2mm. Org.mat. ikke fjernet før sedigrafanal.



**Total Weight** 106,1 g

## Size Fractions

### Sieve Analysis

### Gravel

### Sand

### Sedigraph Analysis

### Silt

### Clay

Size	Size	Weight	Weight	Cumulated amount passing
mm	Φ	g	%	%
16,00	-4,00	0,00	0,00	100,00
8,00	-3,00	0,00	0,00	100,00
4,00	-2,00	0,00	0,00	100,00
2,80	-1,49	0,00	0,00	100,00
2,00	-1,00	0,00	0,00	100,00
1,40	-0,49	0,00	0,00	100,00
1,00	0,00	0,02	0,02	99,98
0,710	0,49	0,03	0,03	99,95
0,500	1,00	0,05	0,05	99,91
0,355	1,49	0,58	0,55	99,36
0,250	2,00	18,76	17,68	81,68
0,180	2,47	36,73	34,62	47,06
0,125	3,00	30,74	28,97	18,09
0,090	3,47	7,26	6,84	11,24
0,063	3,99	2,98	2,81	8,44
0,0442	4,50	1,40	1,32	7,11
0,0312	5,00	0,96	0,91	6,21
0,0221	5,50	0,53	0,50	5,71
0,0156	6,00	0,45	0,42	5,28
0,0110	6,51	0,46	0,43	4,85
0,0078	7,00	0,38	0,35	4,49
0,0055	7,51	0,36	0,34	4,16
0,0039	8,00	0,36	0,34	3,82
0,0028	8,48	0,38	0,35	3,47
0,0020	8,97	0,41	0,38	3,08
<0,0020	>8,97	3,27	3,08	0,00

The analysis is executed according to DS 405.9 extended by sieves to the ½ phi scale

## Size Classes (DGF-Bulletin 1 1988)

	Weight %
Clay	(< 0,002 mm): 3,08
Silt, fine	(0,002 mm - 0,006 mm): 1,15
Silt, medium	(0,006 mm - 0,020 mm): 1,34
Silt, coarse	(0,020 mm - 0,063 mm): 2,87
Sand, fine	(0,063 mm - 0,200 mm): 48,51
Sand, medium	(0,2 mm - 0,6 mm): 42,98
Sand, coarse	(0,6 mm - 2 mm): 0,07
Gravel	(> 2 mm): 0,00
Sum:	100,00

## Moments Measures

Percentile	Percentile	d(mm)	Φ
Amount in sieve	Amount passing		
5%	95%	0,33	1,60
16%	84%	0,26	1,92
25%	75%	0,24	2,08
40%	60%	0,21	2,28
50%	50%	0,19	2,43
75%	25%	0,14	2,86
84%	16%	0,11	3,13
90%	10%	0,08	3,68
95%	5%	0,01	6,31

## Moments Statistics

Mean	2,49
Sorting	1,01
Skewness	0,41
Kurtosis	2,49
Uniformity Coefficient	2,64

Size Classes and Percentiles are found by linear interpolation

## Formulas

Mean ( $\phi_{16\%} + \phi_{84\%} + \phi_{50\%}$ ) / 3 (Folk and Ward 1957)

Sorting ( $\phi_{84\%} - \phi_{16\%}$ ) / 4 + ( $\phi_{95\%} - \phi_{5\%}$ ) / 6,6 (Folk and Ward 1957)

Kurtosis ( $\phi_{95\%} - \phi_{5\%}$ ) / (2,44 \* ( $\phi_{75\%} - \phi_{25\%}$ )) (Folk and Ward 1957)

Skewness ( $\phi_{16\%} + \phi_{84\%} - 2 * \phi_{50\%}$ ) / (2 \* ( $\phi_{84\%} - \phi_{16\%}$ )) + ( $\phi_{5\%} + \phi_{95\%} - 2 * \phi_{50\%}$ ) / (2 \* ( $\phi_{95\%} - \phi_{5\%}$ )) (Folk and Ward 1957)

Uniformity Coefficient ( $d_{60\%} / d_{10\%}$ ) (dgr-Bulletin 1988)

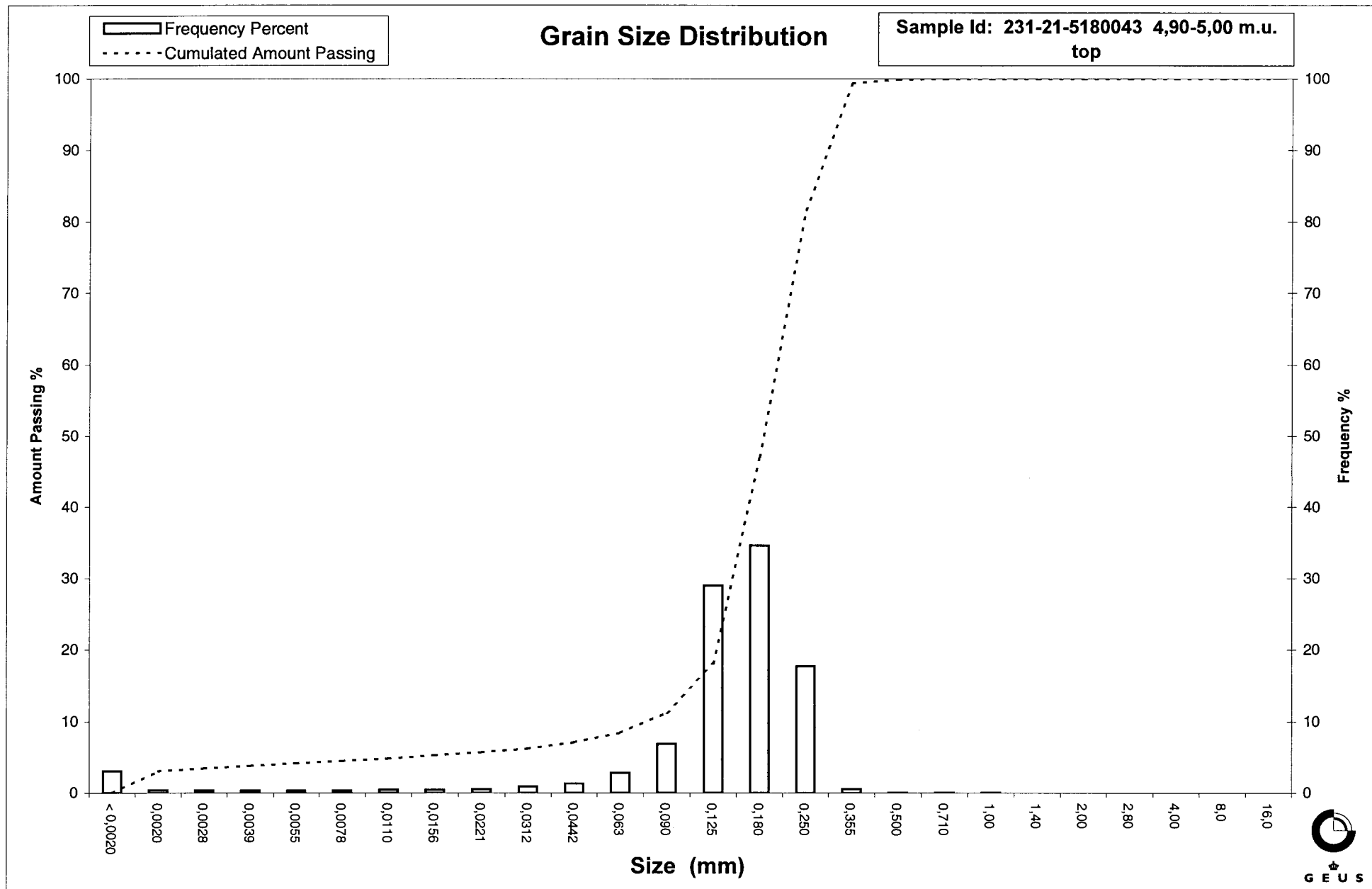
Mean, sorting, skewness and kurtosis are based on "Amount in sieve". Uniformity coefficient is based on "Amount passing".

Thoravej 8, DK-2400 Copenhagen NW

Tel.: +45 38 14 20 00 Telefax: +45 38 14 20 50

Email: GEUS@geus.dk

www.geus.dk



## **5.6 Sparker linien**

231-21-518043

231-21-518040

231-21-518041

231-21-518042

L INL NML L SHFLHH:SHFLNL1518H: SHFLLL 3 dof/shot 8 dof/ea.

\* MODE PL/BACK SEISMIC  
Start/End of line 07/01/2000 03:38 : xx/xx/xxxx xx:xx

\* ACQUISITION SWELL FILTER ON

\* Shooting interval 700 ms Sea bed window 1.0 ms

\* Recording length 200 ms Sea bed trigger 240.3 m

\* Record length 0 ms Sea bed depth 0.3 ms

\* Auxiliary Recording delay 0 ms Filter operator

\* Sampling frequency 8000 Hz TIME-HAVING FILTER OFF

\* Synchronization SLAVE Start low cut 250 Hz

\* Number of channels 1 Start high cut 1200 Hz

\* Number of auxiliary channels 0 End bandwidth depth 175 ms

\* Gain setting MANUAL End high cut 80 Hz

\* Ground references SINGLE ENDED End high cut 600 Hz

\* FILTERS

\* High pass filter 400 Hz PREDICTIVE DECOUPLING OFF

\* Low pass filter 2400 Hz LENGTH OF SIGNATURE 0.4 ms

\* Zero phase filters OFF LENGTH OF PROCESSING WINDOW 0.4 ms

\* Coefficient of filter 3

\* AUTOMATIC GAIN CONTROL ON PREDICTIVE DECOUPLING 62.5 ms

\* Automatic gain control LINEAR

\* Up time 9 SPINNING DECOUPLING OFF

\* Down time 16 LENGTH OF SIGNATURE 2.6 ms

\* Start gain - Wave identification 1

\* End gain -

\* Time decrement 1 HORIZONTAL STACKING ON

\* Time decrease 1 Number of shots 2

\* Gain increment -

\* Gain step - STACK-CDP OFF

\* RG/C window width 0.3 ms Stack coverage 100 %

\* First channel -

\* STANDARD IO CHANNEL (RCO /PLRY.)

\* First shot number 1 FULL SCALE LEVEL

\* File format ELLCS Chan 01 : 0801.1 m

\* Device format DISK

\* Data format -

\* Media density -

